2024 年度苫小牧沖における冬季調査 (1~2 月) 結果図 表 集

表-1(1) 海水の化学的性状調査時の気象・海象

	調査地点	1	2	3	4	5	6	7	8	9
	調査月日	2月2日	2月2日	2月3日	2月2日	2月3日	2月3日	2月2日	2月2日	2月2日
	水 深 (m)	22. 4	24. 6	19.8	43. 2	38. 8	32. 5	53. 9	46. 6	40. 9
	天候	晴	晴	晴	晴	晴	晴	晴	晴	晴
	風向	ENE	SE	ENE	E	NE	NNE	Е	Е	Е
	風速 (m/s)	1. 9	1. 2	2. 9	1. 3	3.8	4. 3	1. 8	1. 2	2. 5
	波向	calm	calm	NE	Е	NE	NE	Е	Е	Е
気象	波高(m)	0. 2	0. 1	0. 3	0. 3	0. 5	0. 4	0. 3	0.3	0. 3
ッ ・ 海	気温(乾球) (℃)	-2. 0	1.3	-2. 3	-1.4	-3. 0	-1.0	0. 5	1. 0	-0. 4
象	気温(湿球) (℃)	-3. 2	0.6	-2.5	-2. 4	-4. 1	-0. 9	-0. 6	0.0	-1. 2
	湿度(%)	72. 4	81.8	95. 3	76. 9	74. 5	94. 5	80. 1	83. 2	83. 3
	透明度(m)	5. 0	5. 7	4. 5	8. 7	7. 7	6. 2	10. 4	8. 0	10. 4
	水色 (フォーレルウーレ)	4	4	4	4	3	4	4	3	3
	表層水温(°C)	3. 4	3. 1	2. 9	3. 4	3. 1	2. 8	3. 4	3. 4	3. 1

表-1(2) 苫小牧地方 2025 年 1~2 月の天気 (赤枠は調査実施日)

		気圧( 現地	hPa) 海面	ß	锋水量(mm)			気温(℃)		湿度	(%)		風向	]・風速(r	n/s)		日照時間
Я	日	平均	平均	合計	最 1時間	大 10分間	平均	最高	最低	平均	最小	平均 風速	最大	風速 風向	最大瞬 風速	間風速 風向	(h)
	1	1010.6	1011.6	0.0	0. 5	0.0	-3. 2	2. 2	-7. 9	74	41	2. 5	6.0		8. 7	北北西	7. 5
	2	1013.3	1014.3				-4. 4	0.6	-9. 4	66	36	2. 8	7. 9		12. 5	西	8. 2
	3	1015. 2	1016. 2	0.0	0.0	0.0	-7. 3	-1.4	-11. 9	73	53	1.9	3.8	北東	6. 1	北東	6. 9
	4	1015.8	1016.8	0.0	0.0	0.0	-6. 2	-0.7	-13. 0	65	41	3.3	6. 9	西北西	11.4	西北西	7. 6
	5	1020. 1	1021.1	0.0	0.0	0.0	-3.4	0.8	-9. 2	62	42	3. 1	8. 4	南東	12.0	南東	7. 4
	6	1012.7	1013.7	3. 0	1.5	0.5	3. 3		0.6	87	72	5. 1	10.3	南南西	15. 1	南南西	0.0
	7	998. 7	999. 7	1.5	1.0	0.5	0.0		-3. 9	80	67	6.8	10.9	北	17. 5	北北東	5. 5
	8	1000.6	1001.6	0.0	0.0	0.0	-1.7	1.3	-4. 7	61	45	3. 1	7. 6	北西	11.7	西北西	2. 3
	9	1002.0	1003.0				-2. 5		-4. 6	51	37	3.6	6.6	西	12. 7	西	8. 5
	10	1007. 1	1008.1				-2. 1	2. 4	-8. 0	66	50	3.6	8. 0	北	14. 5		3. 9
	11	1019.5	1020. 5	0.0	0. 0	0.0	-1.7	1.3	-4. 7	66	49	2. 9	5. 5	北	9.0	北北東	2. 2
	12	1020.6	1021.6	0.0	0.0	0.0	-1.7		-6. 7	66	47	1.9	3.8	東南東	5. 1	南東	6. 1
	13	1014. 7	1015. 7	3. 5	2. 5	1.0	0. 5		-2. 6	86	66	1. 9	3.8	南西	6. 7	西南西	2. 1
	14	1011.1	1012. 1	0. 5	0.5	0. 5	-1.6		-5. 4	72	46	2. 3	6. 7	西北西	12. 3		3.8
	15	1009. 2	1010. 2				-4. 3		-9.0	58	35	3. 2	7. 7	西	12. 4	西	6. 7
1月	16	1012.0	1013.0	0. 5	0. 5	0. 5	-5. 7	-0.9	-12. 4	60	36	2. 0	6. 2	西	9. 7	西南西	5. 3
	17	1013.0	1014.0		0. 0		-5. 3		-10.8	57	30	2. 5	5. 5	北北東	10.0	北北東	5. 7
	18	1020. 9	1021. 9				-6. 9		-12. 6	70	46	1. 7	3. 2	北東	4. 7	北北東	8. 9
	19	1016.8	1017. 8	5. 0	1. 5	0. 5	-3. 1	3.4	-10.8	88	75	1.9	6. 7	東南東	9.3	南東	0. 2
	20	1011.6	1012. 6	0. 5	0. 5	0. 5	2. 0		-1. 1	82	65	2. 8	5. 9		9. 1	北東	4. 3
	21	1018. 7	1019. 7				-0. 4		-3. 3	66	46	3. 5	6. 0	北	10. 2	北北東	9. 0
	22	1021.3	1022. 3	1. 5	1. 0	0. 5	1. 5		-1.0	74	65	3. 9	7. 4	南東	11.5		1. 7
	23	1020. 4	1021.4	1. 0	1. 0	0. 5	2. 1	4. 4	0. 4	92	86	4. 2	7. 6	南東	11.3	東南東	2. 8
	24	1018.4	1019. 4	5. 0	1. 5	0. 5	1.0		0.0	90	83	3. 6	7. 1	北	9. 5	北	0.4
	25	1022. 5	1023. 5				2. 0		0. 1	71	54	4. 7	6. 7		10. 3	北北西	8.8
	26	1022. 3	1023. 3				0. 2		-2. 0	63	48	5. 9	8. 6	北北東	13. 4	北北東	7. 6
	27	1013.3	1014. 3				0. 2	4. 4	-2. 4	61	48	5. 2	7. 6	北	14. 0	北	8. 9
	28	1004. 9	1005. 9	0.0	0.0	0.0	-0. 2	4. 4	-3. 6	67	48	3. 1	5. 6	北	9. 1	北北東	8.8
	29	999. 5	1000.5	0. 0	0.0	0.0	0. 3		-3.0	76	48	2. 2	5. 1	北北東	8. 2	北	4. 7
	30	1005.0	1006.0				0.7	4. 6	-3. 6	60	41	2. 9	6. 9	西	11.5	西北西	8. 7
	31	1012.6	1013. 6	0.0	0.0	0.0	0.1	4. 9	-4. 1	57	38	2. 5	5. 5	北西	10. 1	西北西	4. 2
1	1	1016.8	1017. 8	0.0	0.0	0.0	-2. 3		-6. 2	77	53	2. 0	5. 4		8. 2	北北西	5. 9
2月	2	1017. 1	1018. 1	0.0	0.0	0.0	-2. 6		-6. 8	81	63	2. 1	4. 8	北	7. 1	北北東	6.8
	3	1009. 0	1010. 0	1. 5	1. 5	0. 5	-1. 9	1. 5	-6. 4	76	48	2. 7	4. 7	北	7. 6	北	3. 0

※気象庁 HP(各種データ・資料>過去の気象データ検索)より引用。

※「--」表記については、該当現象、または該当現象による量等がない場合に表示します。

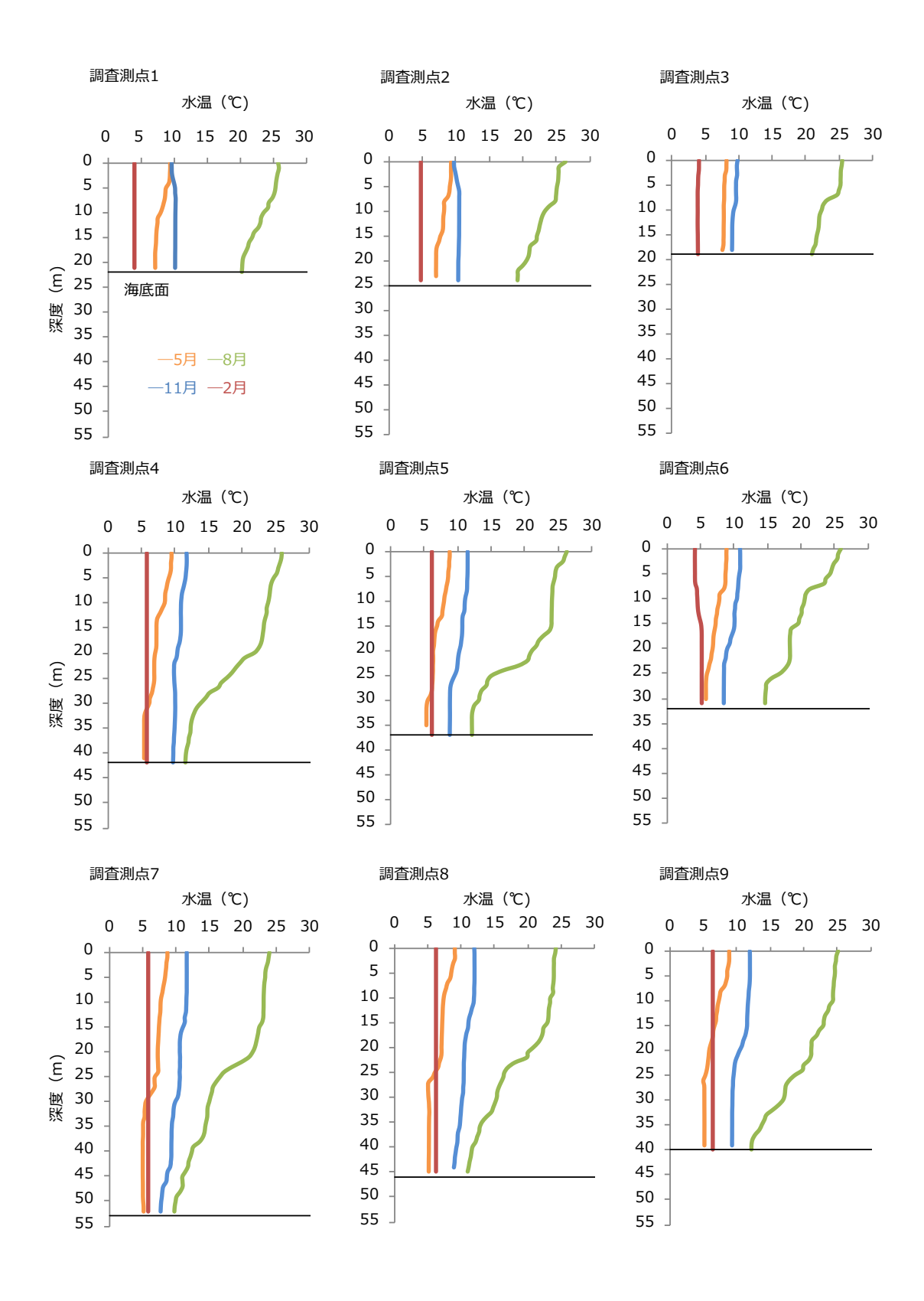


図-1 2023 年度 各調査測点における水温の鉛直プロファイル

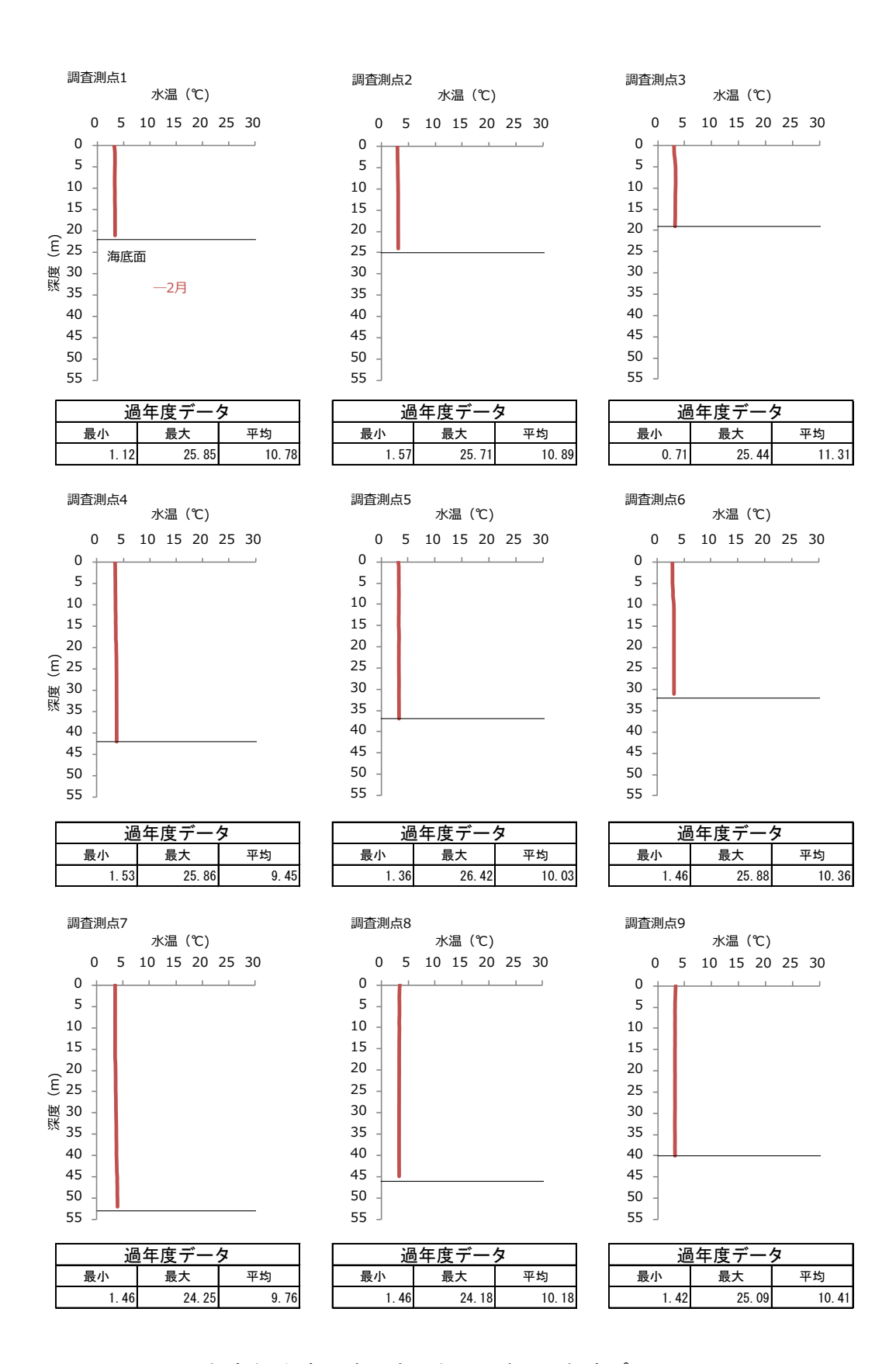


図-2 2024 年度冬季 各調査測点における水温の鉛直プロファイル

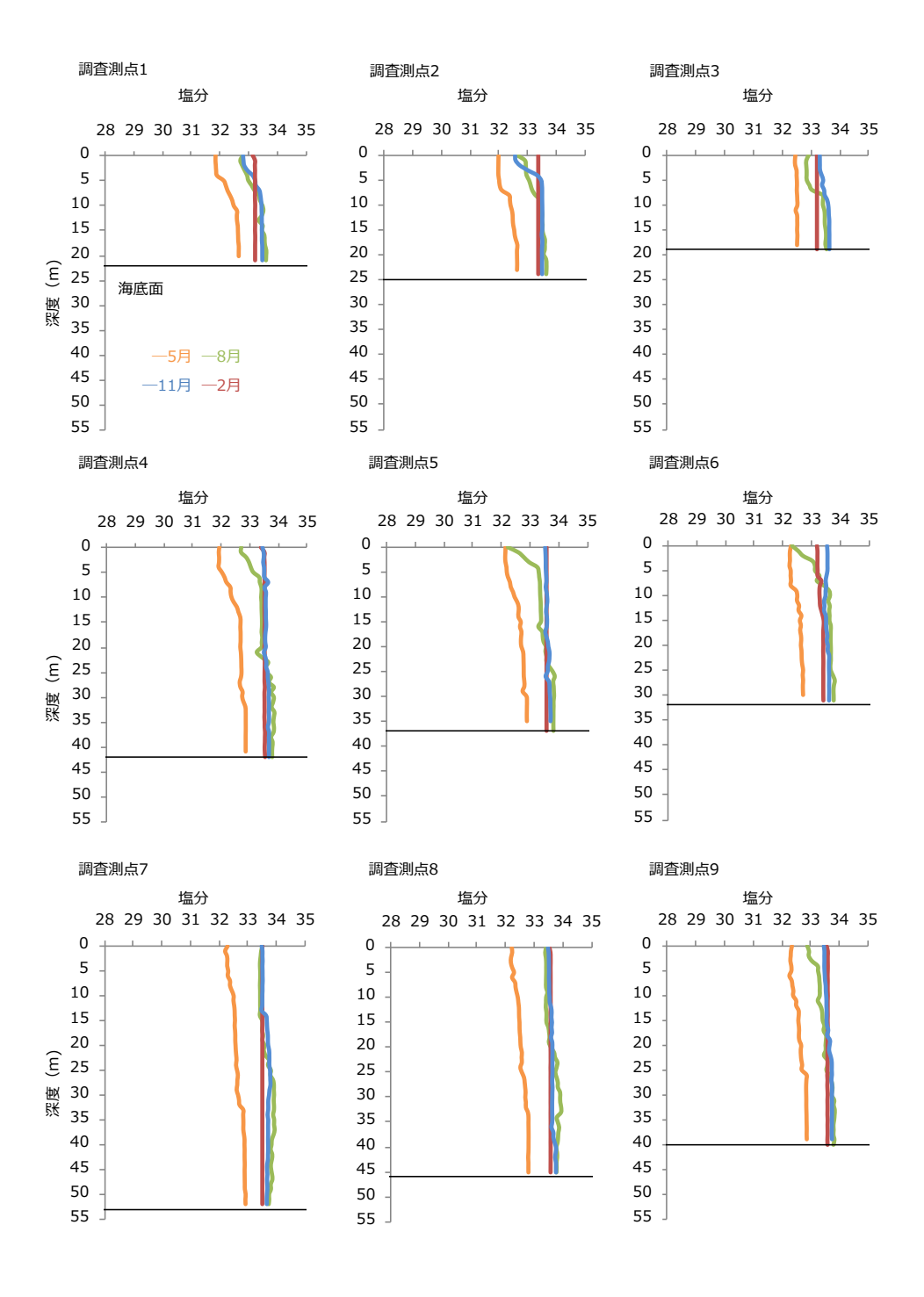


図-3 2023 年度 各調査測点における塩分の鉛直プロファイル

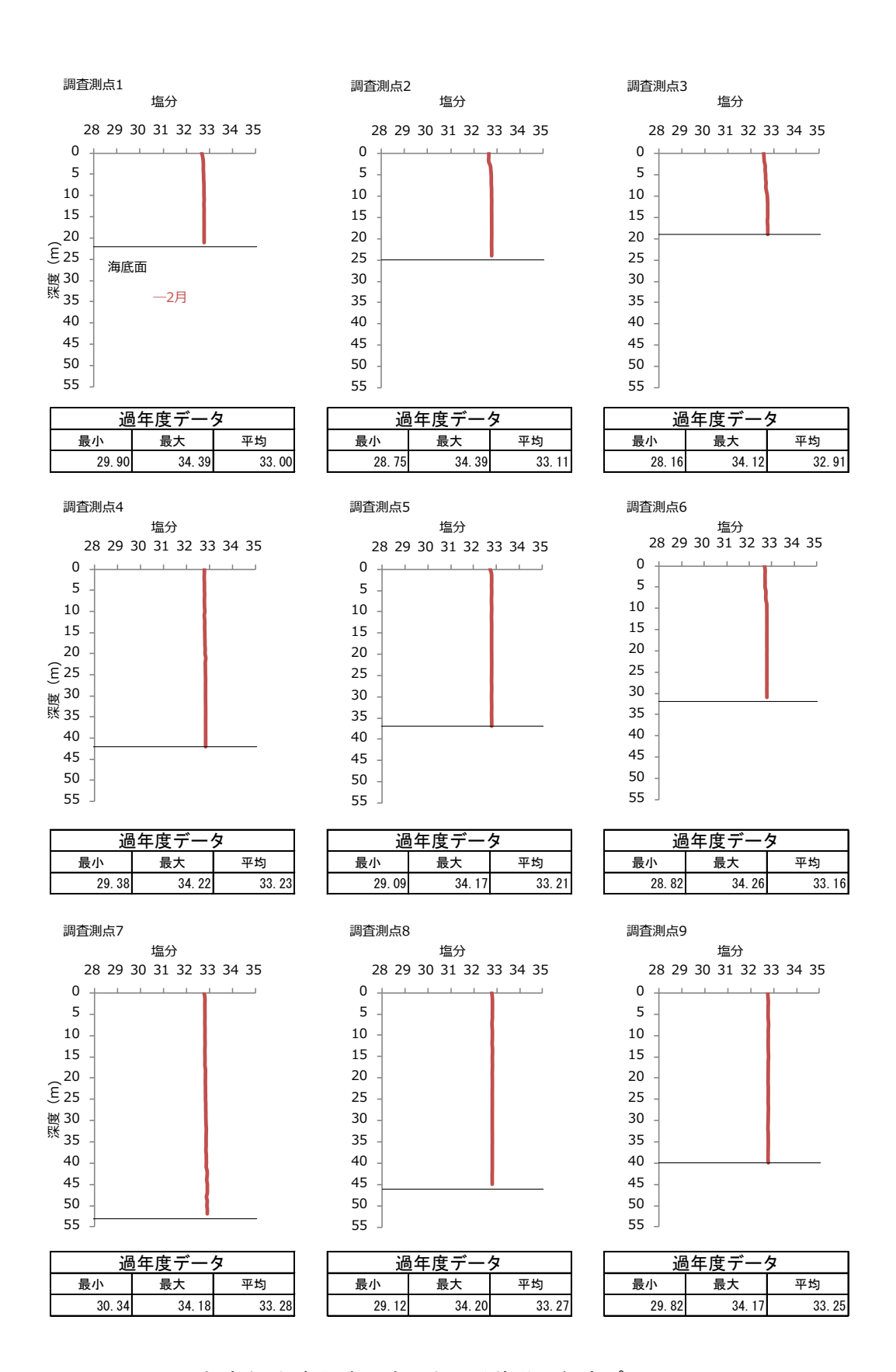


図-4 2024 年度冬季 各調査測点における塩分の鉛直プロファイル

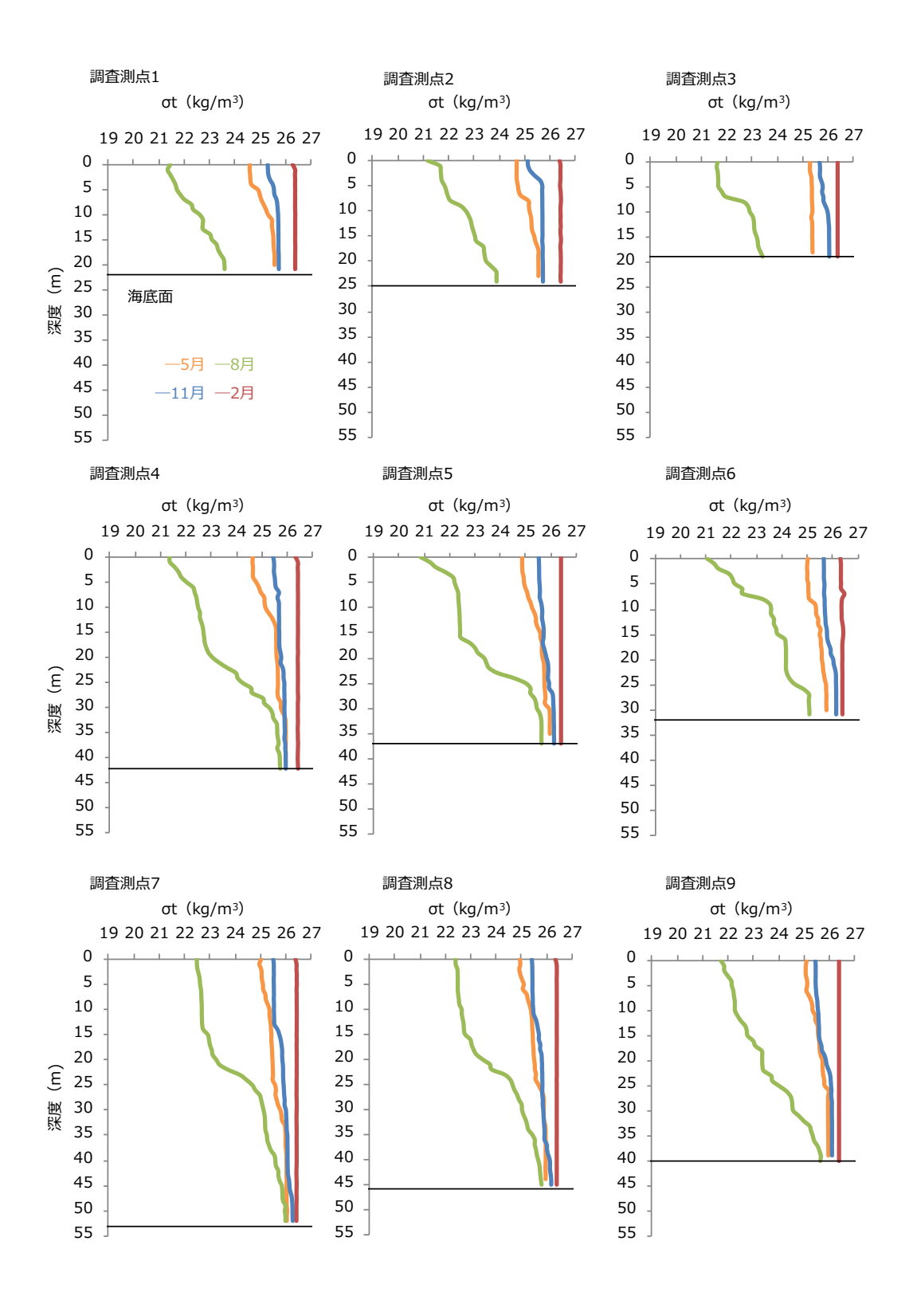


図-5 2023 年度 各調査測点における海水密度 (σt) の鉛直プロファイル

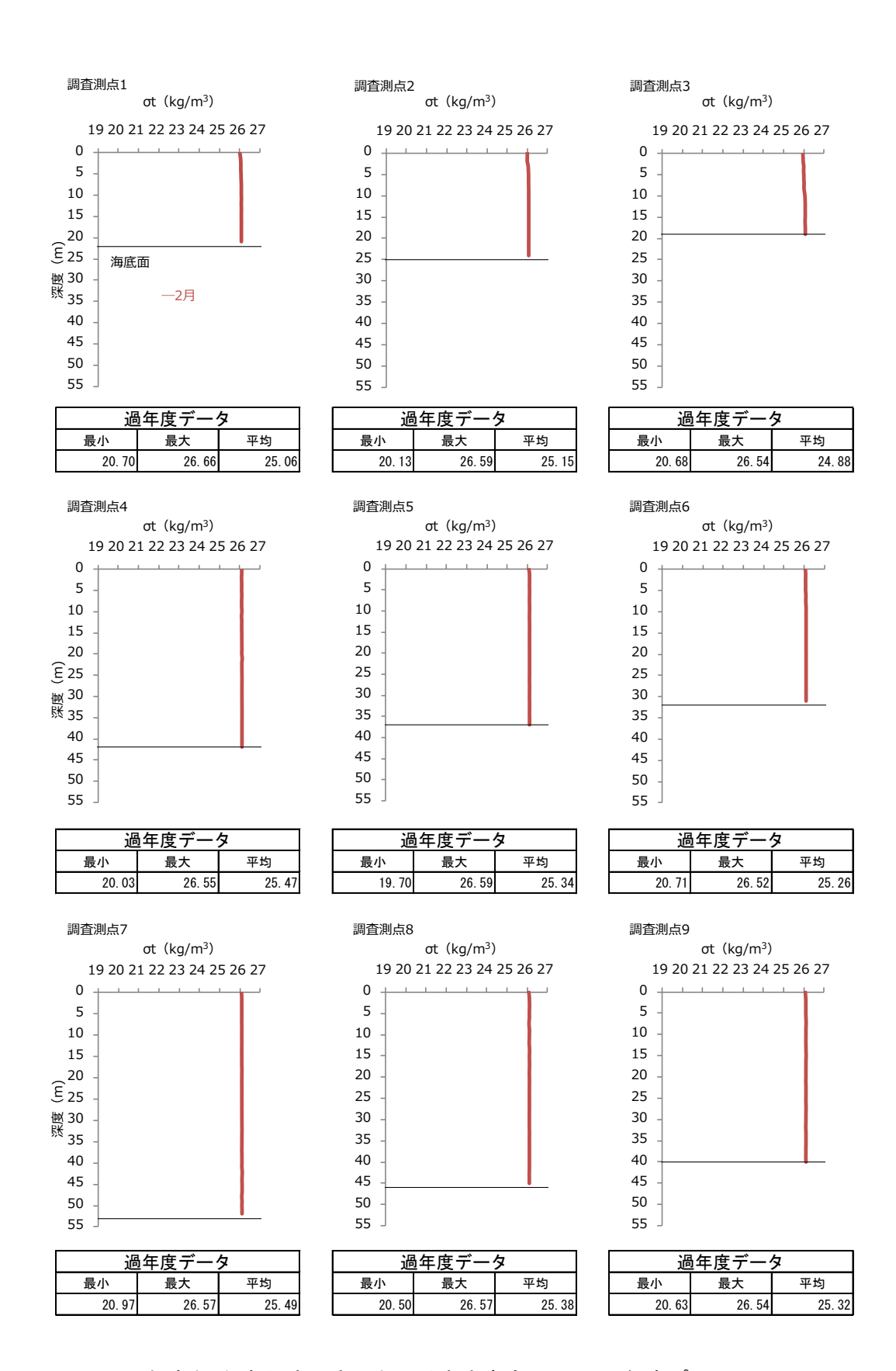


図-6 2024 年度冬季 各調査測点における海水密度 (σt) の鉛直プロファイル

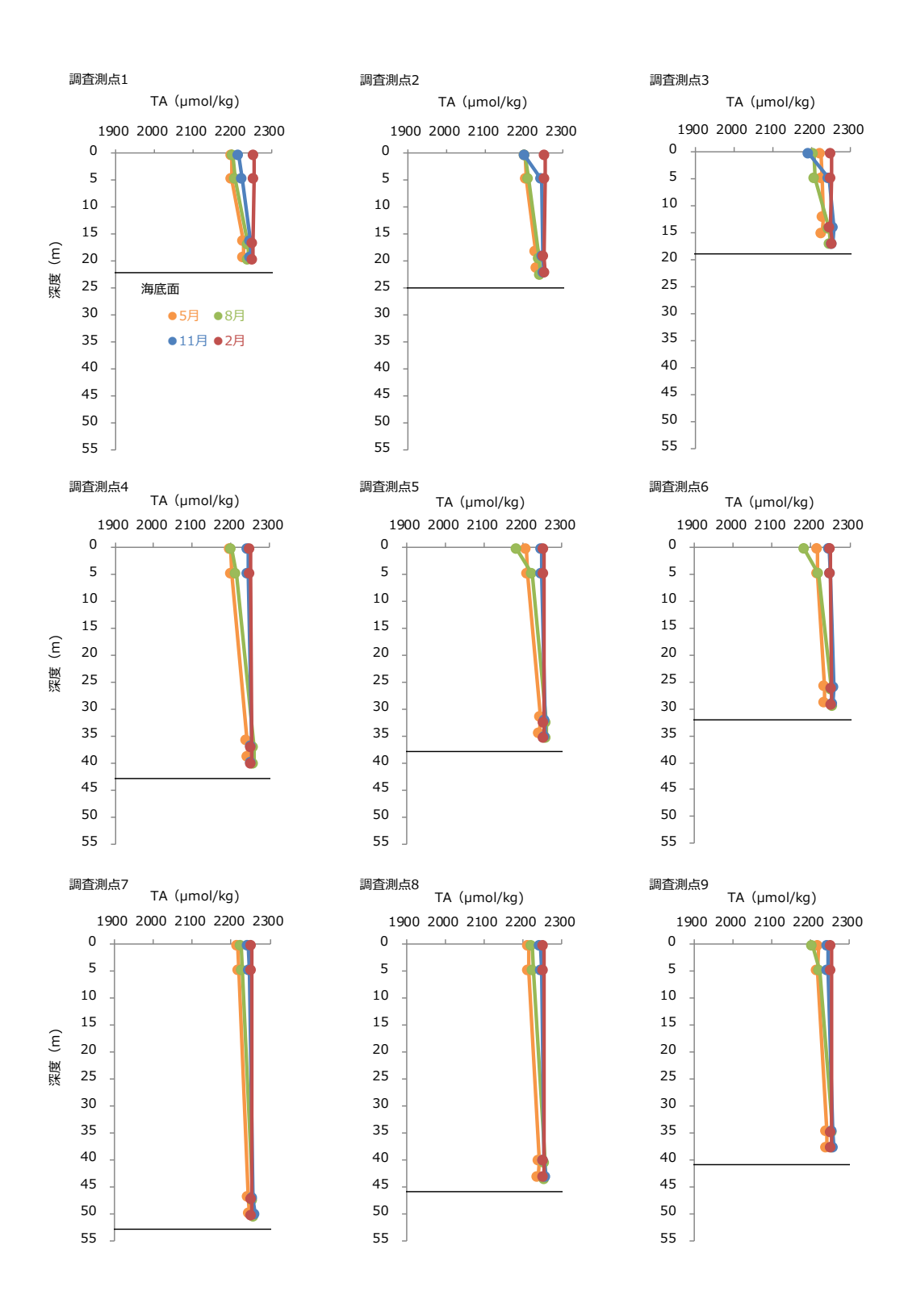


図-7 2023 年度 各調査測点におけるアルカリ度 (TA) の鉛直プロファイル

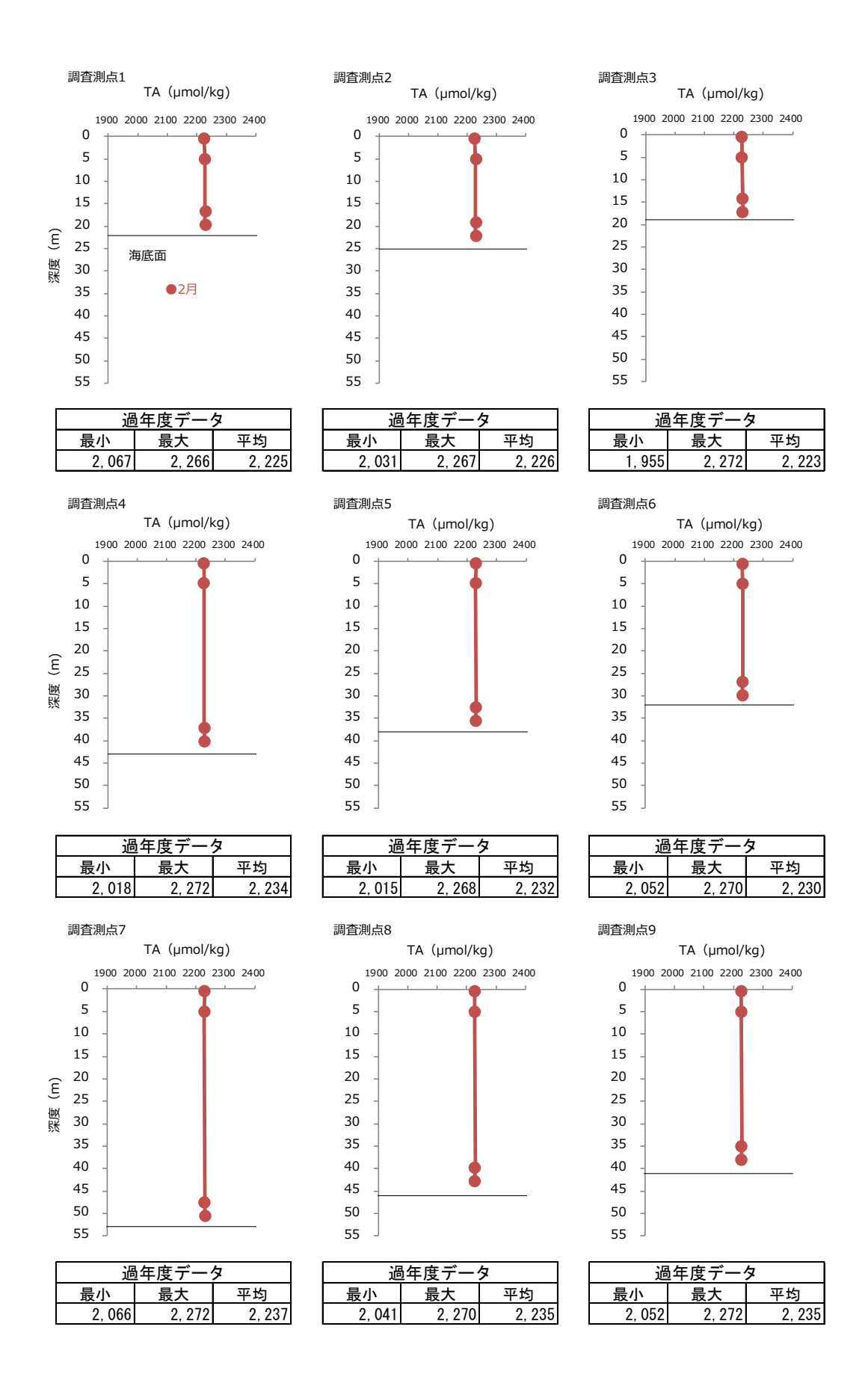


図-8 2024 年度冬季 各調査測点におけるアルカリ度 (TA) の鉛直プロファイル

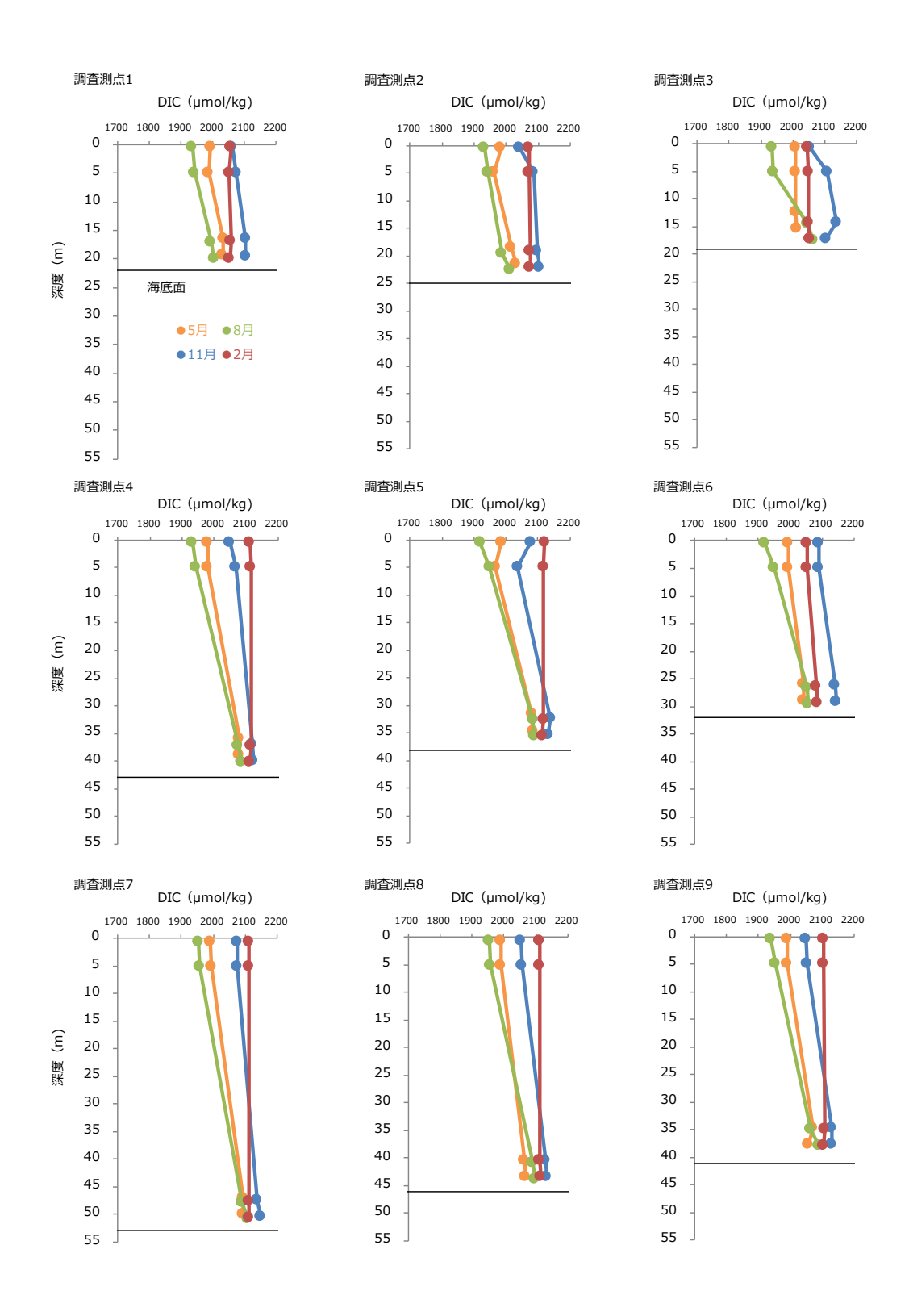


図-9 2023 年度 各調査測点における全炭酸 (DIC) 濃度の鉛直プロファイル

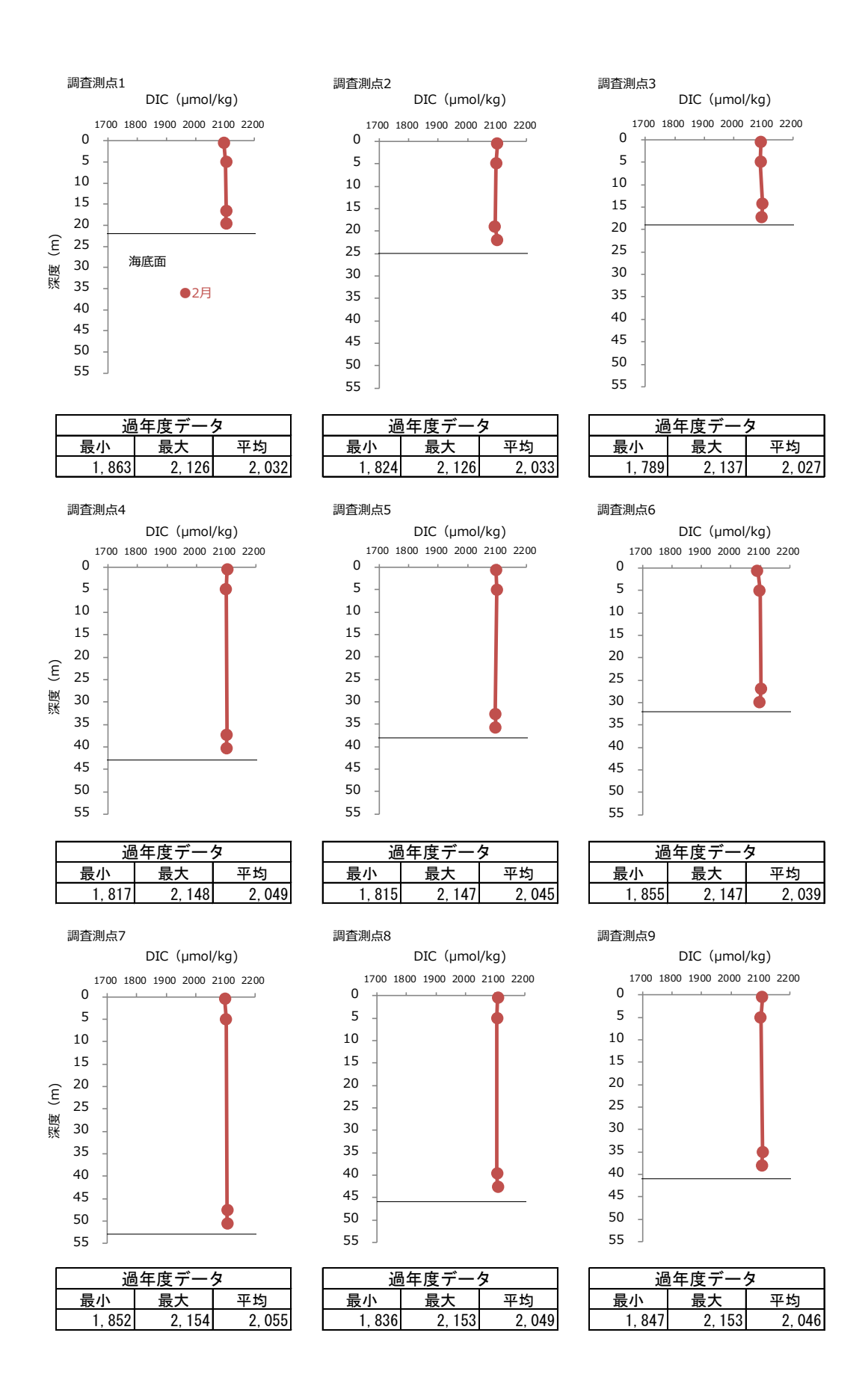


図-10 2024 年度冬季 各調査測点における全炭酸 (DIC) 濃度の鉛直プロファイル

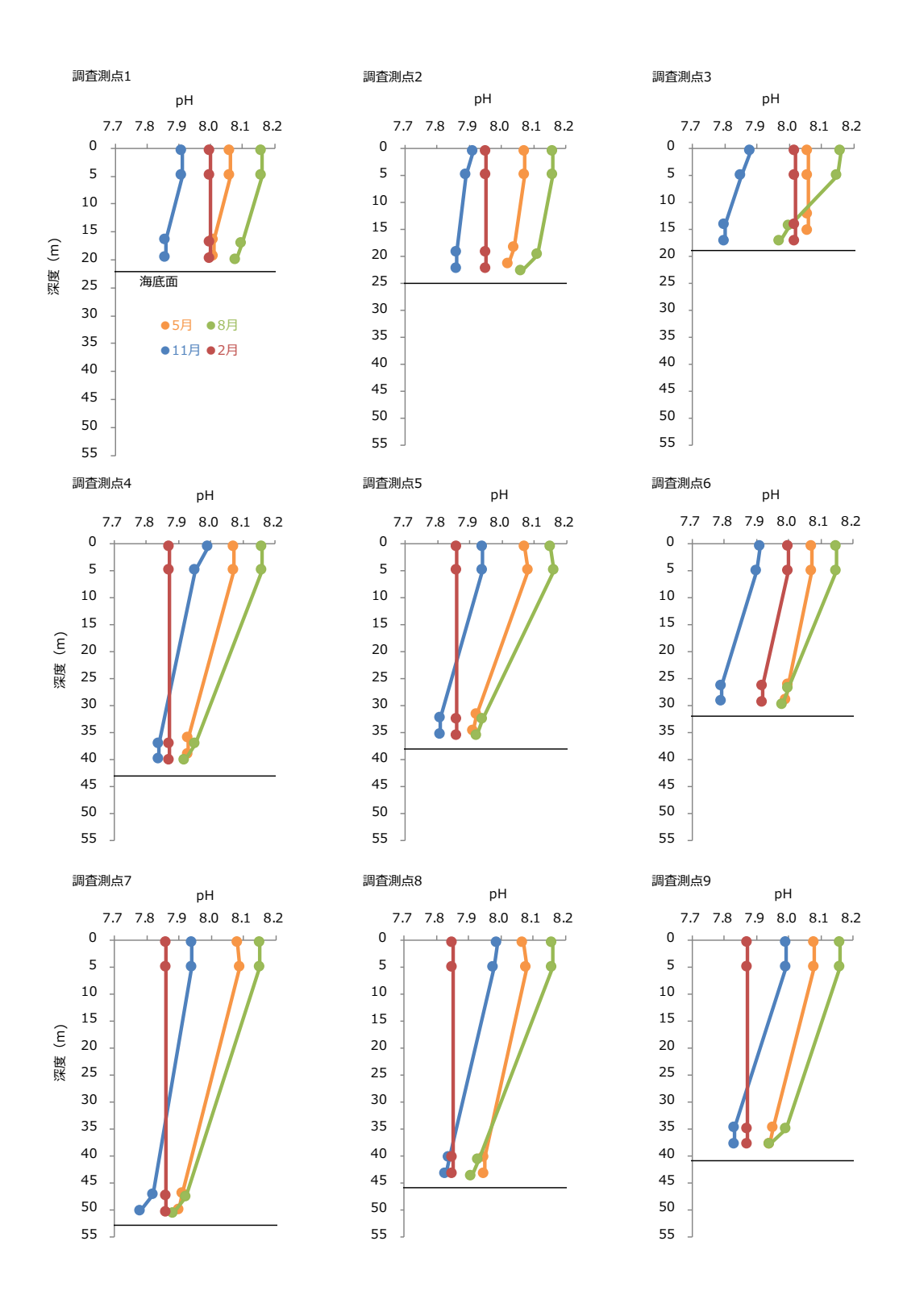


図-11 2023 年度 各調査測点における pH の鉛直プロファイル

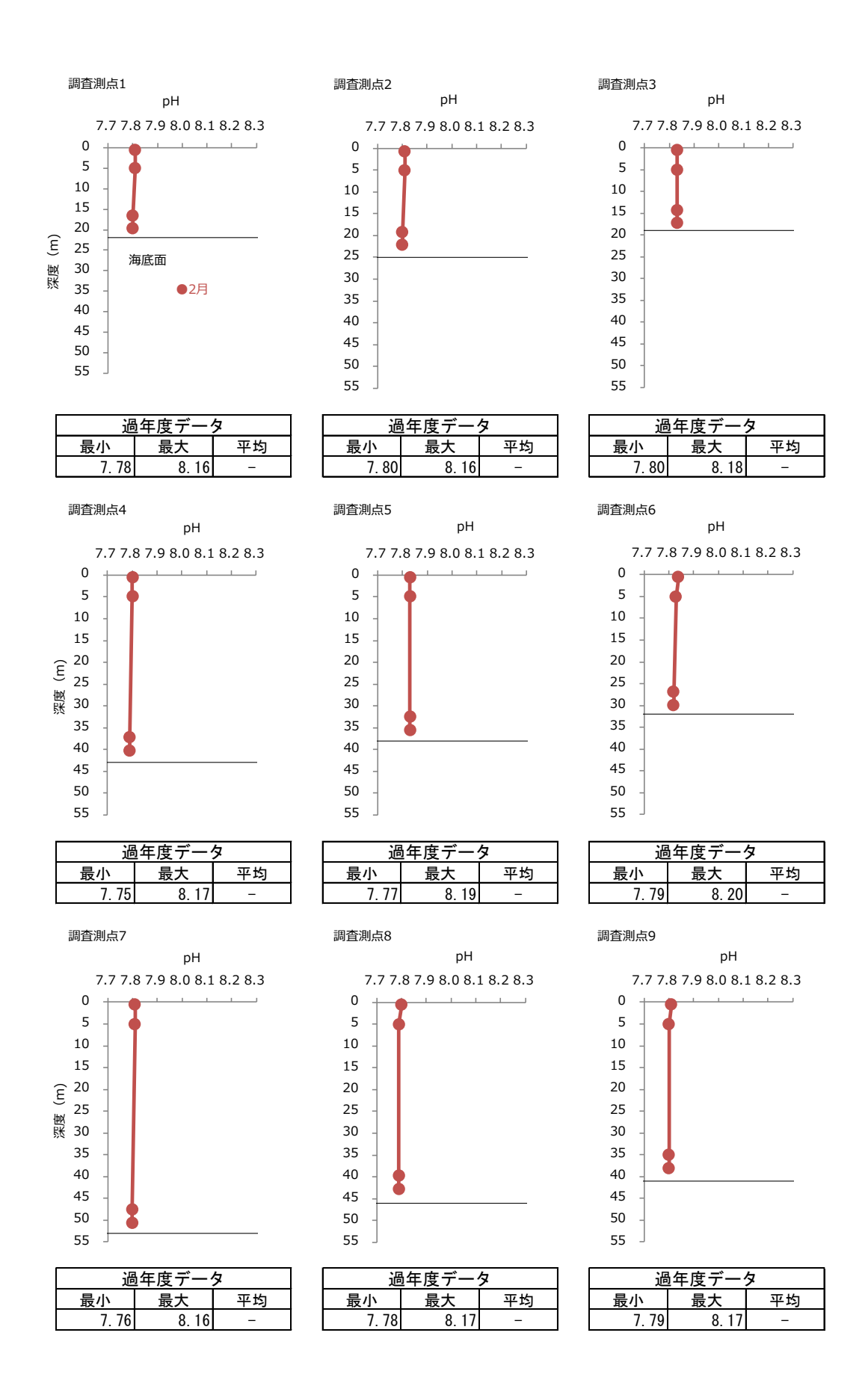


図-12 2024 年度冬季 各調査測点における pH の鉛直プロファイル

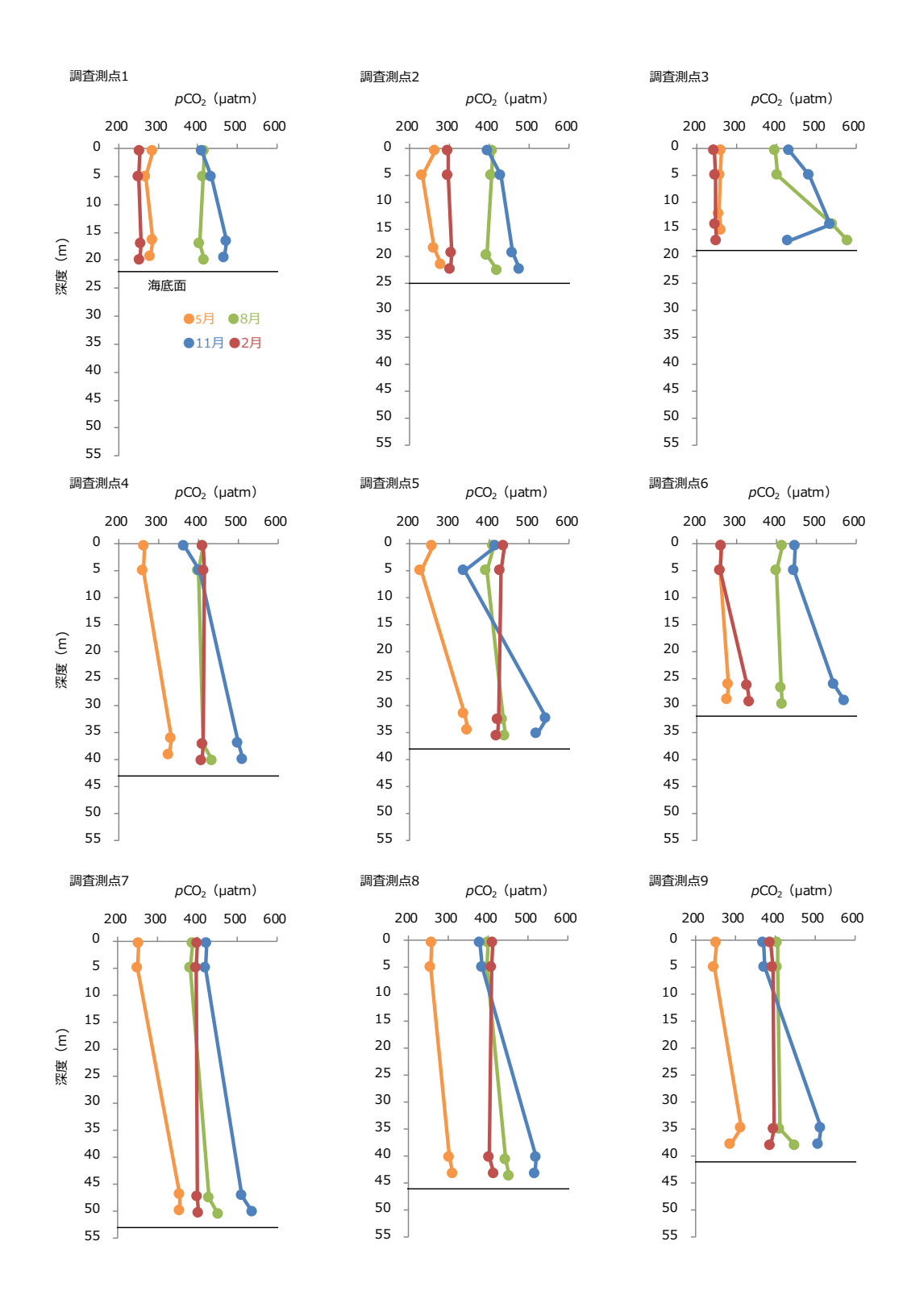


図-13 2023 年度 各調査測点における二酸化炭素分圧 (pCO<sub>2</sub>) の鉛直プロファイル

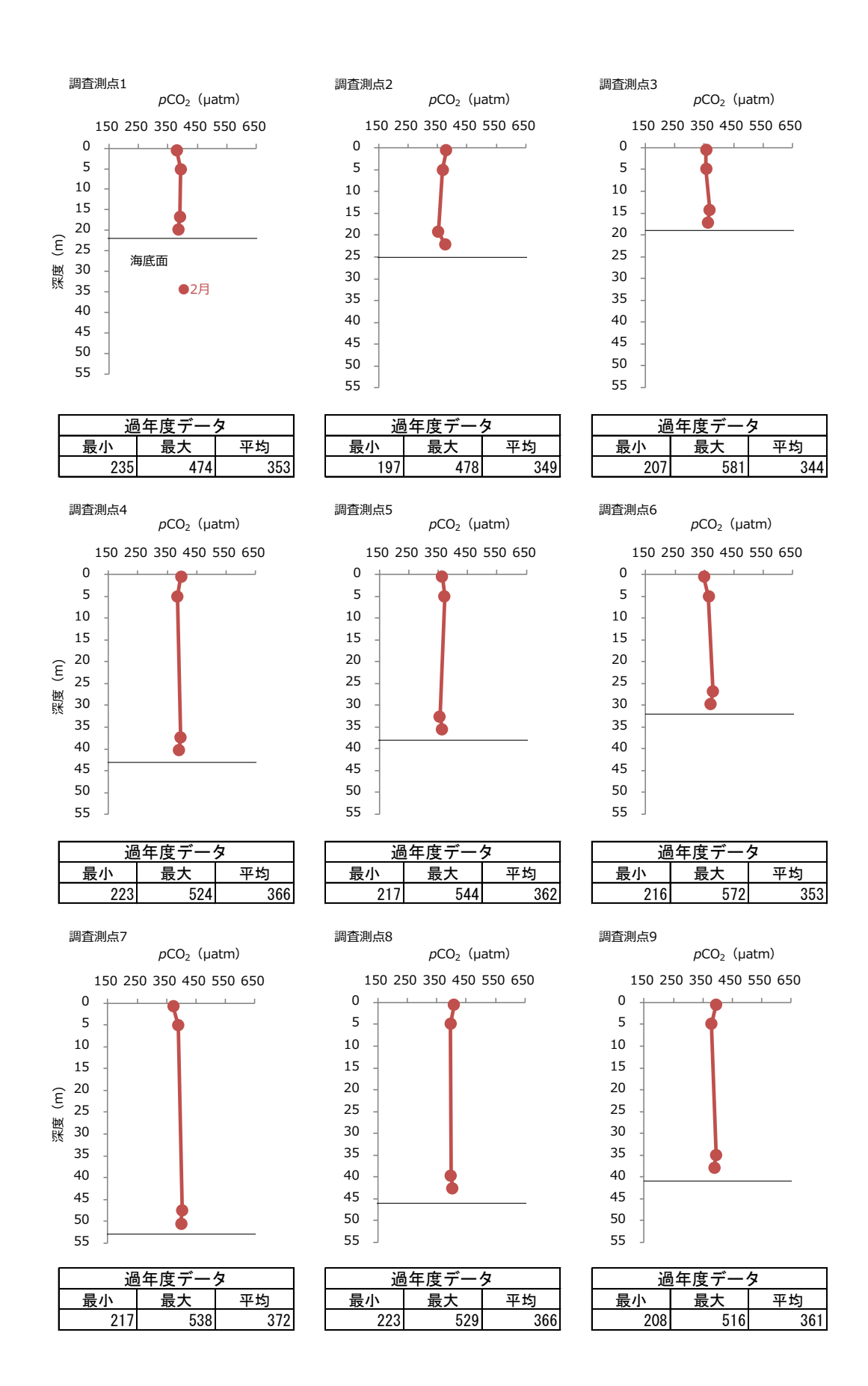


図-14 2024 年度冬季 各調査測点における二酸化炭素分圧 (pCO<sub>2</sub>) の鉛直プロファイル

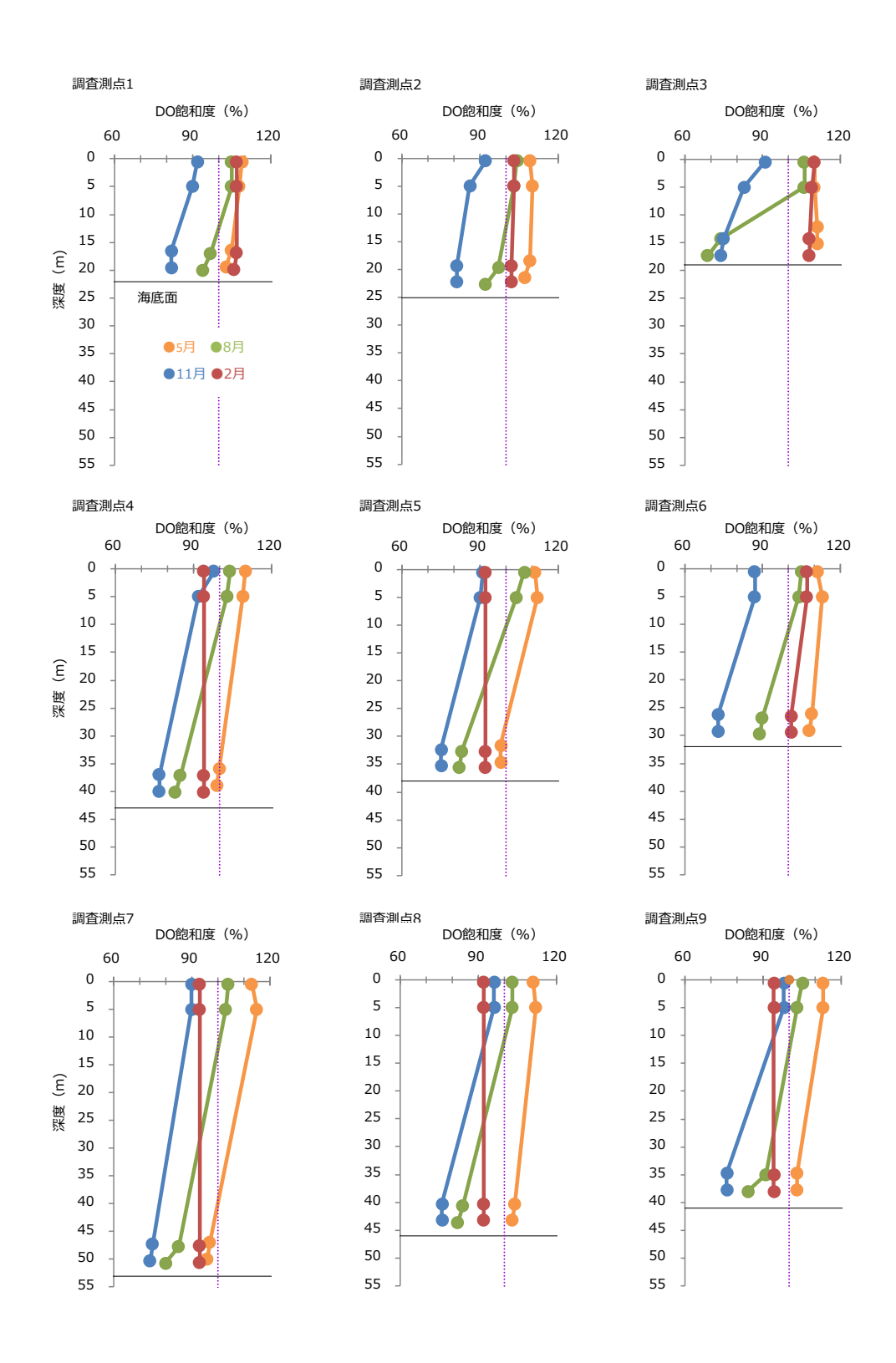


図-15 2023 年度 各調査測点における溶存酸素 (DO) 飽和度の鉛直プロファイル

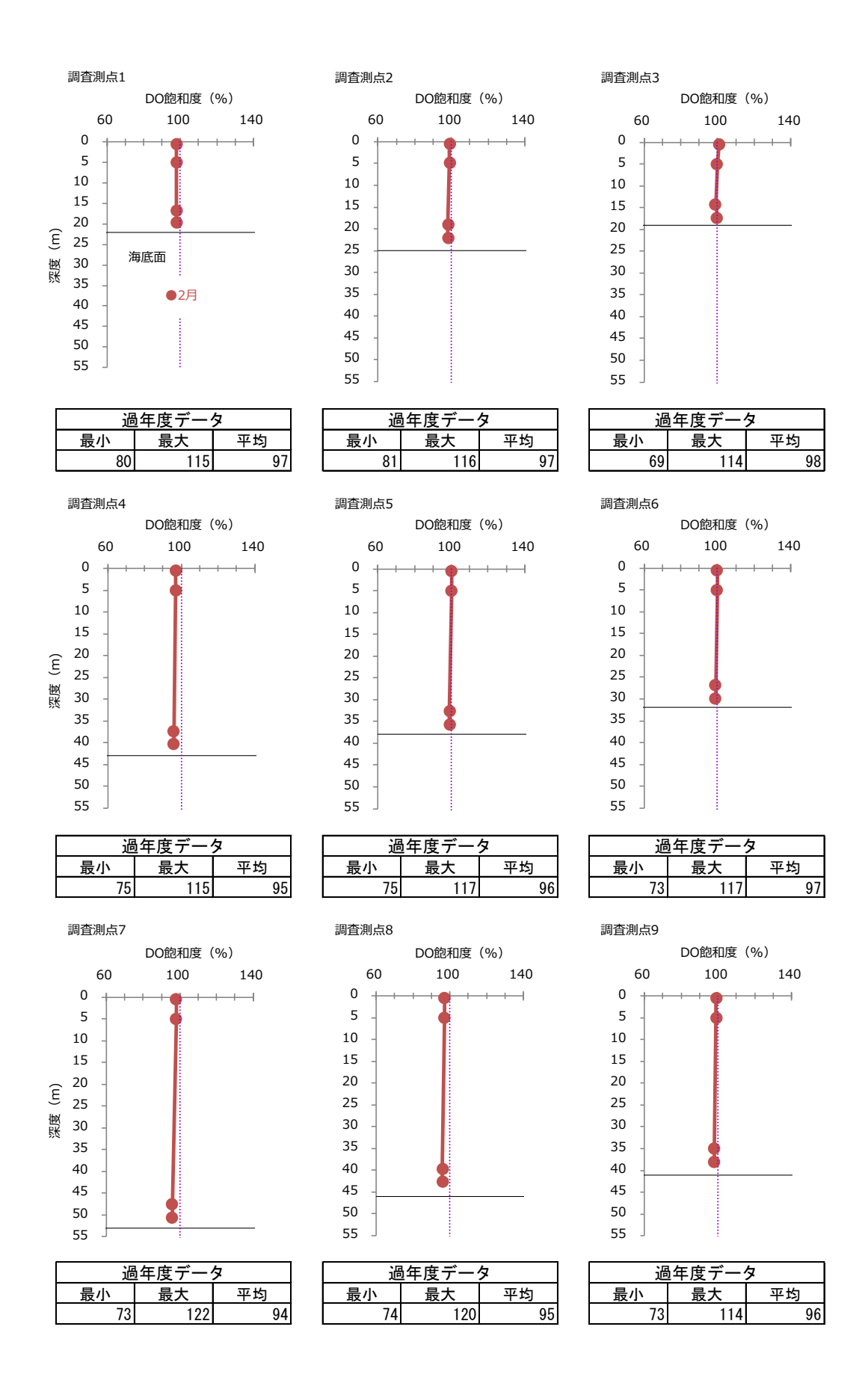


図-16 2024 年度冬季 各調査測点における溶存酸素 (DO) 飽和度の鉛直プロファイル

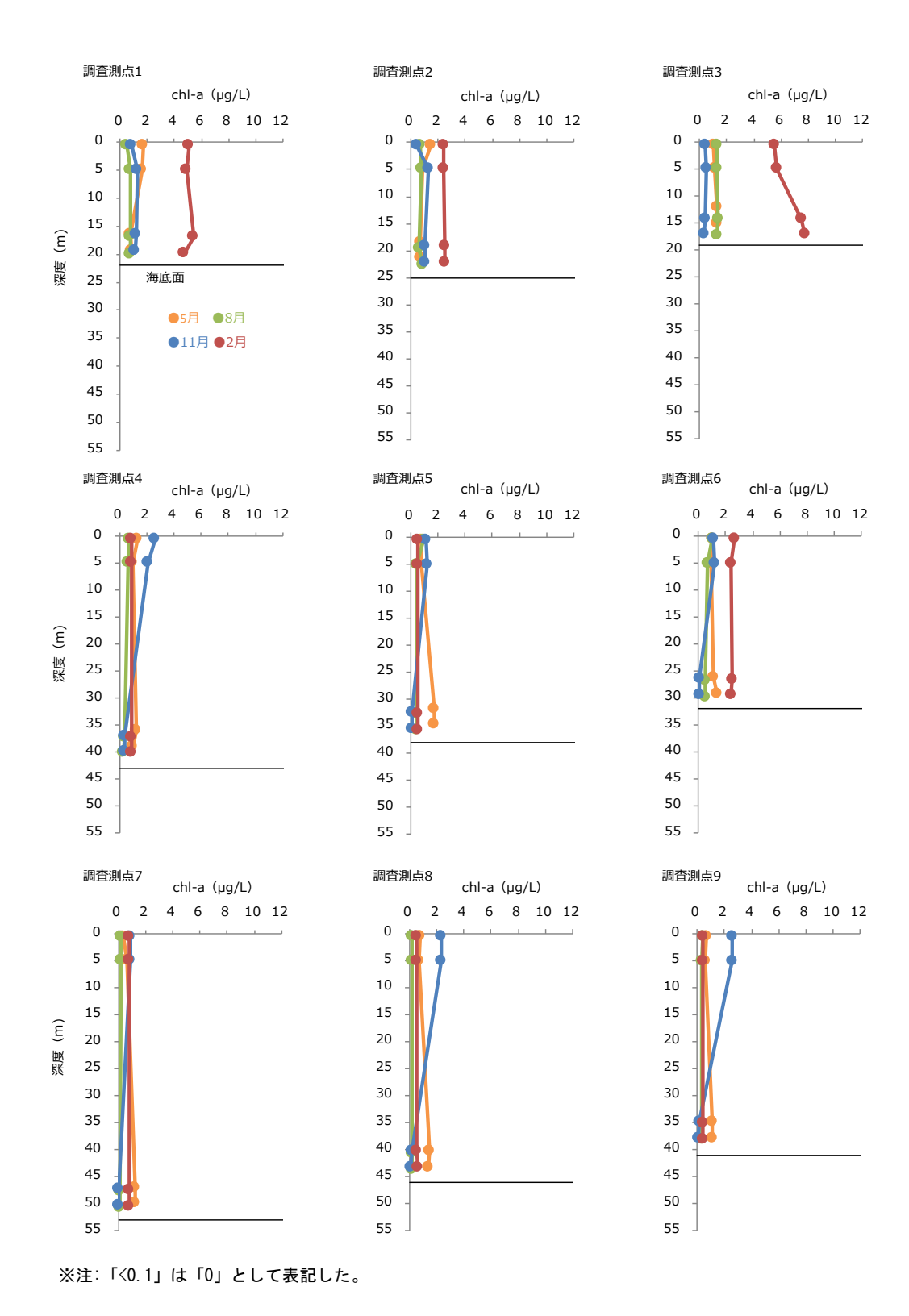


図-17 2023 年度 各調査測点におけるクロロフィル a (chl-a) の鉛直プロファイル

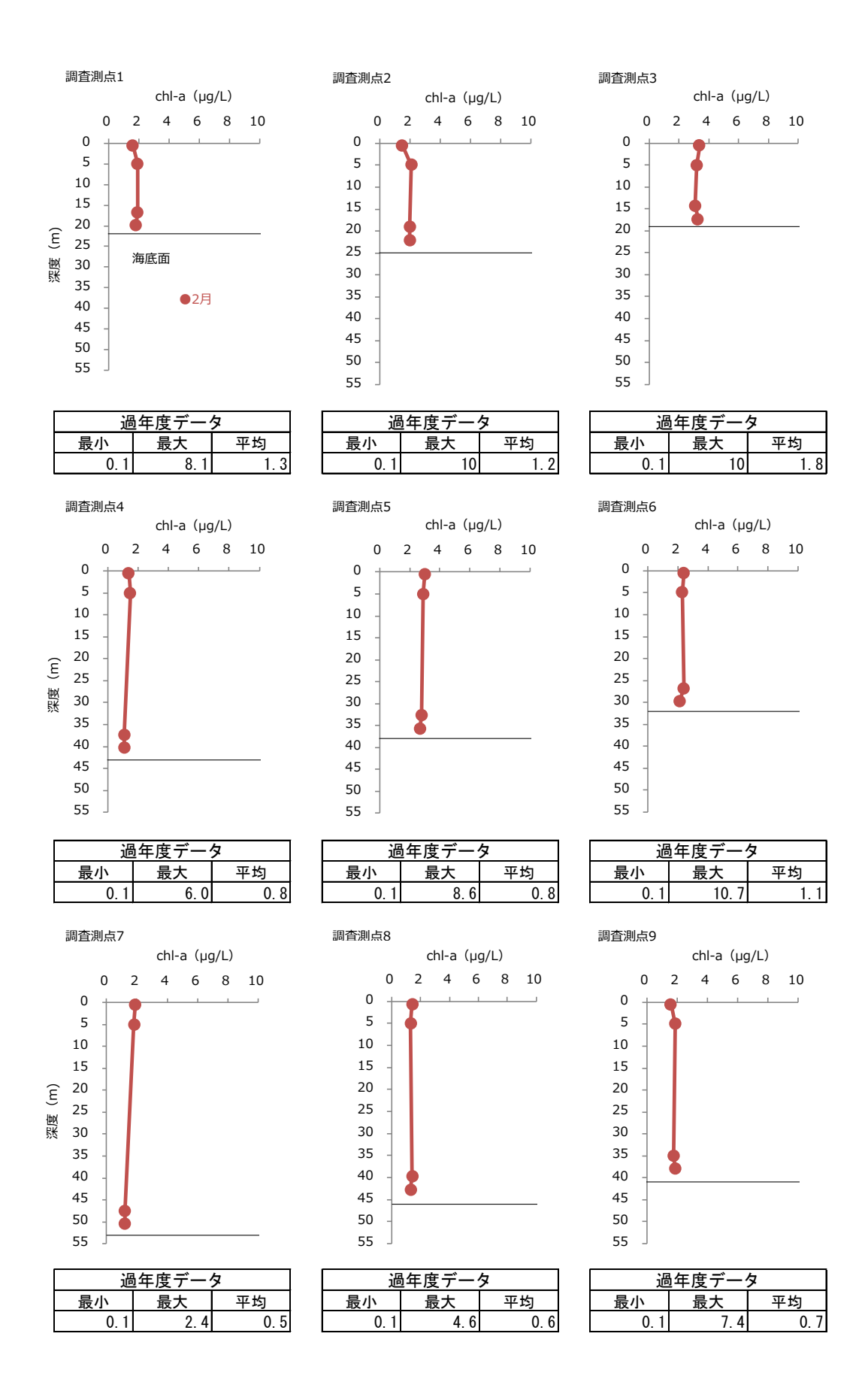


図-18 2024 年度冬季 各調査測点におけるクロロフィル a (chl-a) の鉛直プロファイル

表-2 水質調査分析結果一覧

				14 2	11 2 E L	16) III / 1	// 4 <sup>1</sup> H //	56				
		- 12   12   12   12   13   13   13   13	-L:76	活四曲		CC	2関連項	Ħ			一般項目	計算値
調査測点	観測層	採水深度	水深	透明度	水温	塩分	全炭酸	アルカリ度	pН	DO	クロロフィルーa	$ ho CO_2$
		m	m	m	°C		$\mu{\sf mol/kg}$	μmol/kg		μmol/kg	μg/L	μatm
	表層	0. 5			3. 36	32. 71	2, 096	2, 224	7. 81	322	1.6	379
1	上層	5. 0	22. 4	5. 0	3. 39	32. 73	2, 102	2, 226	7. 81	322	1.9	392
'	下層	16. 7	22. 4	3.0	3. 41	32. 79	2, 103	2, 228	7. 80	321	1.9	391
	底層	19. 7			3. 41	32. 79	2, 102	2, 228	7. 80	321	1.8	385
ļ	表層	0. 5			3. 08	32. 66	2, 100	2, 226	7. 81	330	1.5	380
2	上層	5. 0	24. 6	5. 7	3. 12	32. 74	2, 097	2, 229	7. 81	329	2. 1	367
2	下層	19. 1	24. 0	0.7	3. 18	32. 77	2, 092	2, 230	7. 80	326	2. 0	353
	底層	22. 1			3. 19	32. 77	2, 100	2, 229	7. 80	326	2. 0	376
	表層	0. 5			3.06	32. 60	2, 091	2, 226	7. 83	335	3. 4	356
3	上層	5. 0	19.8	4. 5	3. 25	32. 67	2, 090	2, 227	7. 83	332	3. 2	356
o l	下層	14. 3	10.0	7.0	3. 21	32. 76	2, 097	2, 228	7. 83	329	3. 1	369
	底層	17. 3			3. 20	32. 77	2, 094	2, 228	7. 83	330	3. 3	361
	表層	0. 5			3. 37	32. 77	2, 104	2, 227	7. 80	320	1.4	396
4	上層	5. 0	43. 2	8. 7	3. 42	32. 78	2, 100	2, 227	7. 80	319	1.5	384
7	下層	37. 3	43. Z	0. /	3. 68	32. 83	2, 103	2, 228	7. 79	314	1.1	395
	底層	40. 3			3. 68	32. 83	2, 102	2, 229	7. 79	314	1.1	389
	表層	0. 5			3. 17	32. 77	2, 097	2, 230	7. 83	330	3.0	364
5	上層	5. 0	38.8	7. 7	3. 17	32. 79	2, 099	2, 229	7. 83	330	2. 9	372
· ·	下層	32. 6	00.0	1.1	3. 19	32. 78	2, 094	2, 230	7. 83	329	2. 8	356
	底層	35. 6			3. 19	32. 78	2, 096	2, 229	7. 83	329	2. 7	364
	表層	0. 5			2. 90	32. 73	2, 091	2, 228	7. 84	334	2. 4	348
6	上層	5. 0	32. 5	6. 2	2. 91	32. 74	2, 098	2, 229	7. 83	333	2. 3	363
Ü	下層	26. 8	02.0	0.2	3. 13	32. 78	2, 102	2, 229	7. 82	328	2. 4	379
	底層	29. 8			3. 13	32. 78	2, 098	2, 228	7. 82	328	2. 1	370
	表層	0. 5			3. 48	32. 79	2, 098	2, 230	7. 81	322	1.9	372
7	上層	5.0	53. 9	10.4	3. 48	32.80	2, 102	2, 228	7. 81	322	1.8	389
	下層	47. 5			3. 95	32.86	2, 106	2, 230	7. 80	312	1.2	403
	底層	50. 5			3.96	32. 87	2, 106	2, 231	7. 80	312	1.2	399
	表層	0. 5			3.39	32.80	2, 109	2, 227	7. 80	319	1.4	410
8	上層	5. 0	46. 6	8. 0	3.38	32. 79	2, 106	2, 228	7. 79	319	1.3	397
	下層	39. 7		5.0	3. 36	32. 79	2, 107	2, 229	7. 79	318	1.4	398
	底層	42. 7			3. 36	32. 79	2, 109	2, 228	7. 79	318	1.3	404
	表層	0. 5			3. 22	32. 76	2, 106	2, 228	7. 81	328	1.6	395
9	上層	5. 0	40. 9	10.4	3. 15	32. 76	2, 101	2, 228	7. 80	327	1.9	378
·	下層	35.0	10.0	10.4	3.14	32. 76	2, 107	2, 229	7. 80	326	1.8	395
	底層	38. 0			3. 14	32. 76	2, 104	2, 228	7. 80	326	1. 9	388

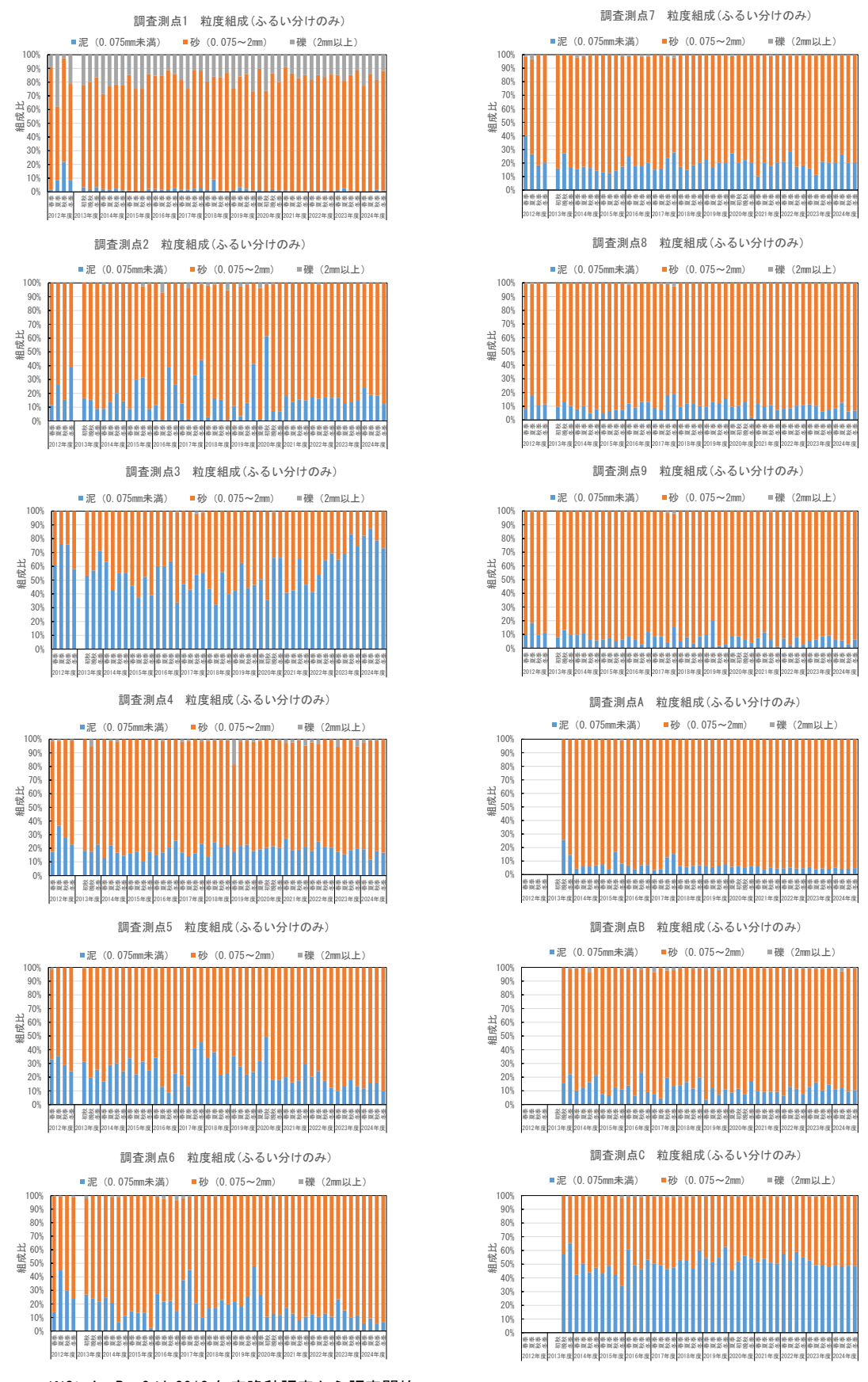
表-3 底質調査分析結果一覧

			pН	pН							成(ふるい分)	
調査測点	水深	泥温	(通常) 標準電極	JGS0211	含水率	有機炭素	無機炭素	全窒素	硫化物	礫 2mm以上	砂 0.075-2mm	泥 0.075mm未満
	m	°C	M-21		%	mg/g-dry	mg/g-dry	mg/g-dry	mg/g-dry		%	0.07011117147123
1-1		3. 5	7. 78	8. 4	21.4	1.1	0. 1	0. 42	<0.1	16. 5	82. 7	0.8
1-2	22. 5	3. 5	7. 75	8. 4	21.7	1.2	0.1	0. 38	<0.1	12. 0	87. 1	0. 9
1-3	22. 5	3. 5	7. 86	8. 4	23. 0	1.1	<0.1	0. 41	<0.1	6. 8	92. 0	1. 2
1-4		3. 6	7. 84	8. 4	24. 8	1.2	0.1	0. 37	<0.1	12. 5	86. 1	1.4
2	24. 5	3. 4	7. 73	8. 4	21.8	2. 5	<0.1	0. 64	<0.1	0. 4	87. 3	12. 3
3	19. 2	3. 5	7. 58	8.3	31.7	8. 1	0. 2	0. 71	0.7	0.0	26. 9	73. 1
4	43. 5	4. 3	7. 57	8. 6	24. 8	3. 9	0. 2	0. 57	<0.1	0. 4	82. 8	16. 8
5	38. 5	3. 5	7. 65	8. 5	22. 6	3. 1	<0.1	0. 52	<0.1	0. 1	90. 1	9. 8
6	31. 5	3. 4	7. 83	8. 6	23. 4	2. 0	0. 1	0. 54	<0.1	0. 1	93. 2	6. 7
7	53. 1	3. 1	7. 50	8. 6	25. 6	4. 9	0. 2	0. 48	<0.1	0. 4	79. 1	20. 5
8	46. 0	3. 0	7. 62	8. 6	23. 7	2.4	0. 1	0. 40	<0.1	0. 1	93. 0	6. 9
9	40. 5	3. 3	7. 81	8. 6	19.5	1.6	<0.1	0. 33	<0.1	0. 0	93. 7	6. 3
A-1		3. 8	7. 78	8. 4	20. 4	1.3	<0.1	0. 33	<0.1	1. 0	95. 0	4. 0
A-2	12. 6	3. 8	7. 78	8. 2	24. 7	1.3	<0.1	0. 31	<0.1	0. 1	96. 3	3. 6
A-3	12. 0	3. 8	7. 74	8.3	23. 3	1.4	<0.1	0. 32	<0.1	0. 1	95. 0	4. 9
A-4		3. 8	7. 67	8. 2	25. 9	1.4	<0.1	0. 29	<0.1	0. 4	93. 0	6. 6
B−1		4. 2	7. 66	8. 6	21.9	2. 0	0. 2	0. 63	<0.1	0. 9	92. 8	6. 3
B-2	06.1	4. 2	7. 67	8. 6	23. 1	2. 7	0. 1	0. 39	<0.1	0.8	89. 7	9. 5
B-3	26. 1	4. 3	7. 60	8. 6	23. 8	3.8	0. 1	0. 62	<0.1	0. 4	83. 4	16. 2
B-4		4. 2	7. 75	8. 6	22. 4	2. 3	<0.1	0. 45	<0.1	1.4	88. 2	10. 4
C-1		4. 8	7. 52	8. 7	31. 1	8. 4	0. 2	0. 82	0. 2	0. 2	49.3	50. 5
C-2	20.0	4. 8	7. 54	8. 6	30. 9	8.6	0.4	0. 81	0. 2	0. 1	50. 1	49. 8
C-3	38. 9	4. 4	7. 51	8. 6	30. 1	8. 2	0. 2	0. 81	0. 2	0. 2	52. 0	47. 8
C-4		4. 4	7. 52	8. 6	30. 1	10. 1	0. 2	0. 74	0. 2	0. 4	52. 7	46. 9

表-4 底質調査 過年度冬季調査結果一覧(最小-最大)

調査測点	pH(通常_標準)		有機炭素			無機炭素			全窒素			硫化物		
响且炽点	(-)		(mg/g-dry)			(mg/g-dry)			(mg/g-dry)			(mg/g-dry)		<i>(</i> )
1	7. 35	~ 8.24	0.6	~	2. 1	<0.1	~	0. 2	0. 04	~	0. 39	<0.1	~	<0.1
2	7. 13	~ 7.98	0.8	~	5. 2	<0.1	~	0.5	0. 08	~	0.68	<0.1	~	0. 1
3	7. 32	~ 7.93	3. 2	~	7. 7	<0.1	~	0.4	0.41	~	1.05	0. 1	~	0.5
4	7. 40	~ 7.81	3.8	~	4. 8	<0.1	~	0.3	0.44	~	0. 79	<0.1	~	0.1
5	7. 39	~ 7.74	3.4	~	5.8	<0.1	~	0.6	0. 48	~	0. 92	<0.1	~	0.3
6	7. 50	~ 7.80	0.8	~	9. 2	<0.1	~	1.1	0. 13	~	0. 91	<0.1	~	0. 2
7	7. 42	~ 7.90	4. 3	~	5. 1	<0.1	~	1.5	0.44	~	1.01	<0.1	~	<0.1
8	7. 47	~ 7.90	0.9	~	3. 3	<0.1	~	0. 9	0. 12	~	0. 70	<0.1	~	<0.1
9	7. 49	~ 7.90	1.0	~	3. 3	<0.1	~	0.9	0.08	~	0. 62	<0.1	~	<0.1
Α	7. 17	~ 8.23	1. 2	~	3. 1	<0.1	~	<0.1	0. 13	~	0. 52	<0.1	~	<0.1
В	7. 08	~ 7.81	1.3	~	5.8	<0.1	~	0. 2	0.16	~	0.66	<0.1	~	0. 2
C	7. 15	<b>~</b> 7.65	6.7	~	15. 1	<0.1	~	0.4	0.58	~	1. 77	<0.1	~	0.4

※調査測点1、A、B、Cは4回分全データの最小最大。



※St. A、B、Cは2013年度晩秋調査から調査開始。
※St. 1、A、B、Cは4回分の平均値。

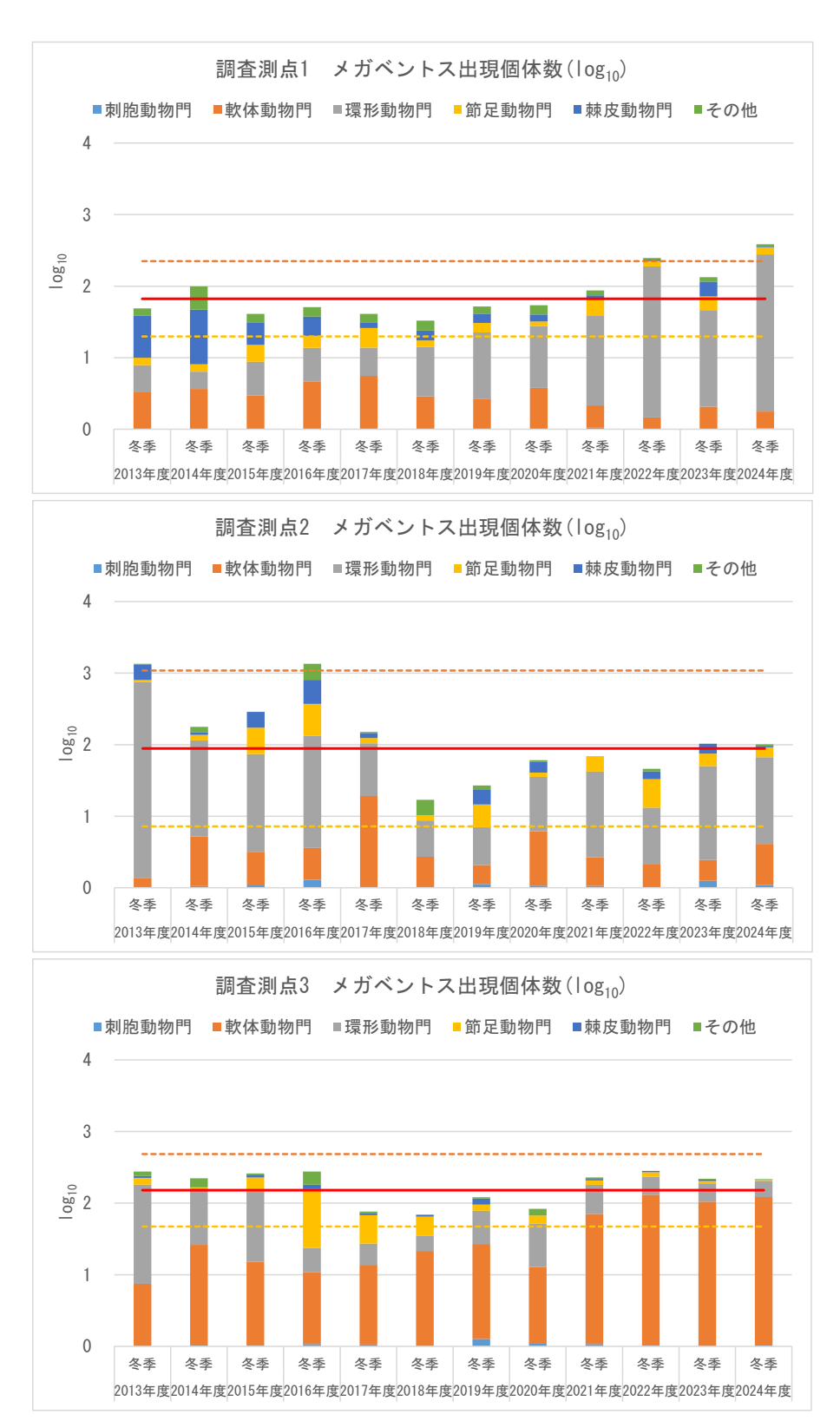
図-19 各調査測点の粒度組成経年変化

表-5 簡易ドレッジによるメガベントス採取調査曳網距離及び曳網面積

調査測点	調査日 2025	水深 (m)	曳網時間 (分)	曳網距離 (m)	曳網面積 (m²)	ロープ長 (m)	特記事項
1	1月20日	21. 2	4	209	104. 5	110	
2	1月20日	25. 2	4	205	102. 5	100	
3	1月20日	19. 4	5	212	106. 0	100	
4	1月20日	42. 0	5	206	103. 0	180	
5	1月20日	37. 3	5	203	101. 5	170	
6	1月20日	31. 9	5	205	102. 5	150	
7	1月20日	52. 4	4	209	104. 5	200	
8	1月20日	46. 6	5	234	117. 0	180	
9	1月20日	40. 5	4	208	104. 0	170	

※1:曳網距離はGPSに保存した軌跡より計算

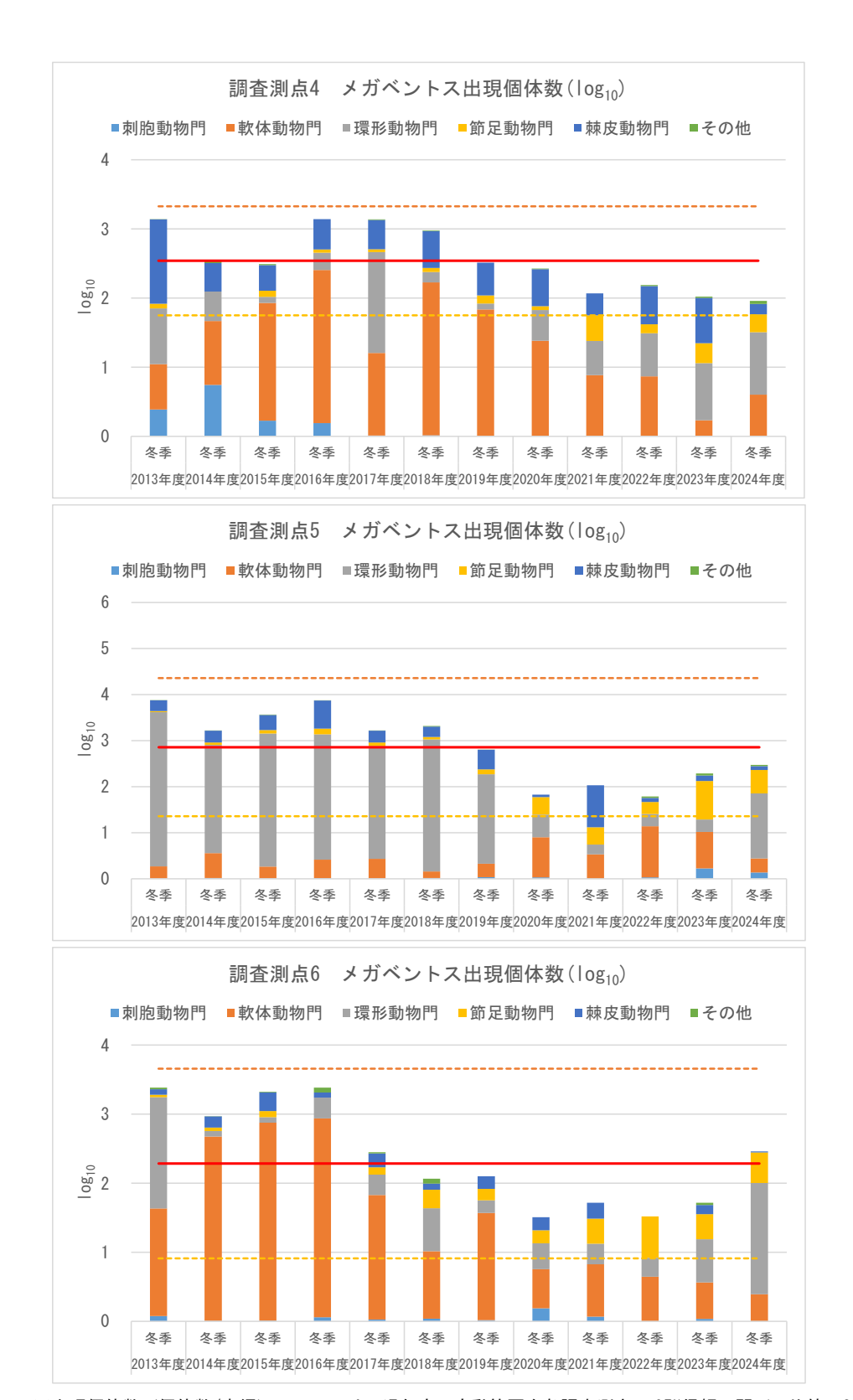
※2:曳網面積はドレッジの開口 0.5m×曳網距離で計算



※出現個体数(個体数/曳網)については、過年度の変動範囲を各調査測点の95%信頼区間(平均値±2 $\sigma$  ( $\sigma$ :標準偏差))として整理した。また、出現個体数の変動範囲が大きいことから、常用対数に変換した。各分類群の組成については、出現個体数に対する各分類群の占める割合を示す。

※ ---: 平均個体数、----:: +2σ、----:: -2σ を表す。

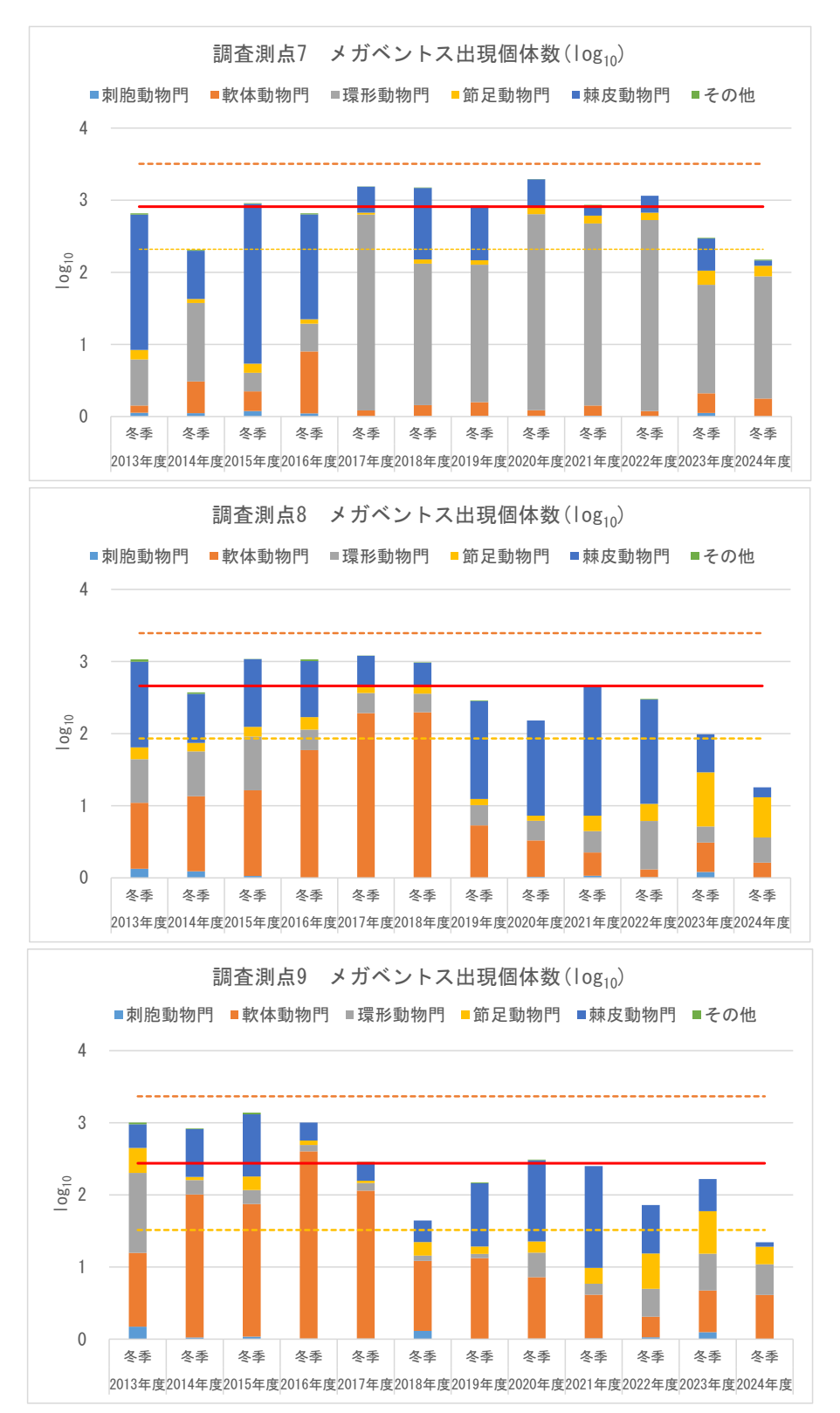
図-20(1) メガベントスの出現個体数の経年変化



※出現個体数 (個体数/曳網) については、過年度の変動範囲を各調査測点の 95%信頼区間 (平均値±2σ (σ:標準偏差)) として整理した。また、出現個体数の変動範囲が大きいことから、常用対数に変換した。各分類群の組成については、出現個体数に対する各分類群の占める割合を示す。

※ ---: : +2σ、----: : -2σ を表す。

図-20(2) メガベントスの出現個体数の経年変化



※出現個体数(個体数/曳網)については、過年度の変動範囲を各調査測点の95%信頼区間(平均値±2 $\sigma$ ( $\sigma$ :標準偏差))として整理した。また、出現個体数の変動範囲が大きいことから、常用対数に変換した。各分類群の組成については、出現個体数に対する各分類群の占める割合を示す。

※ ---: : +2σ、----: : -2σ を表す。

図-20(3) メガベントスの出現個体数の経年変化

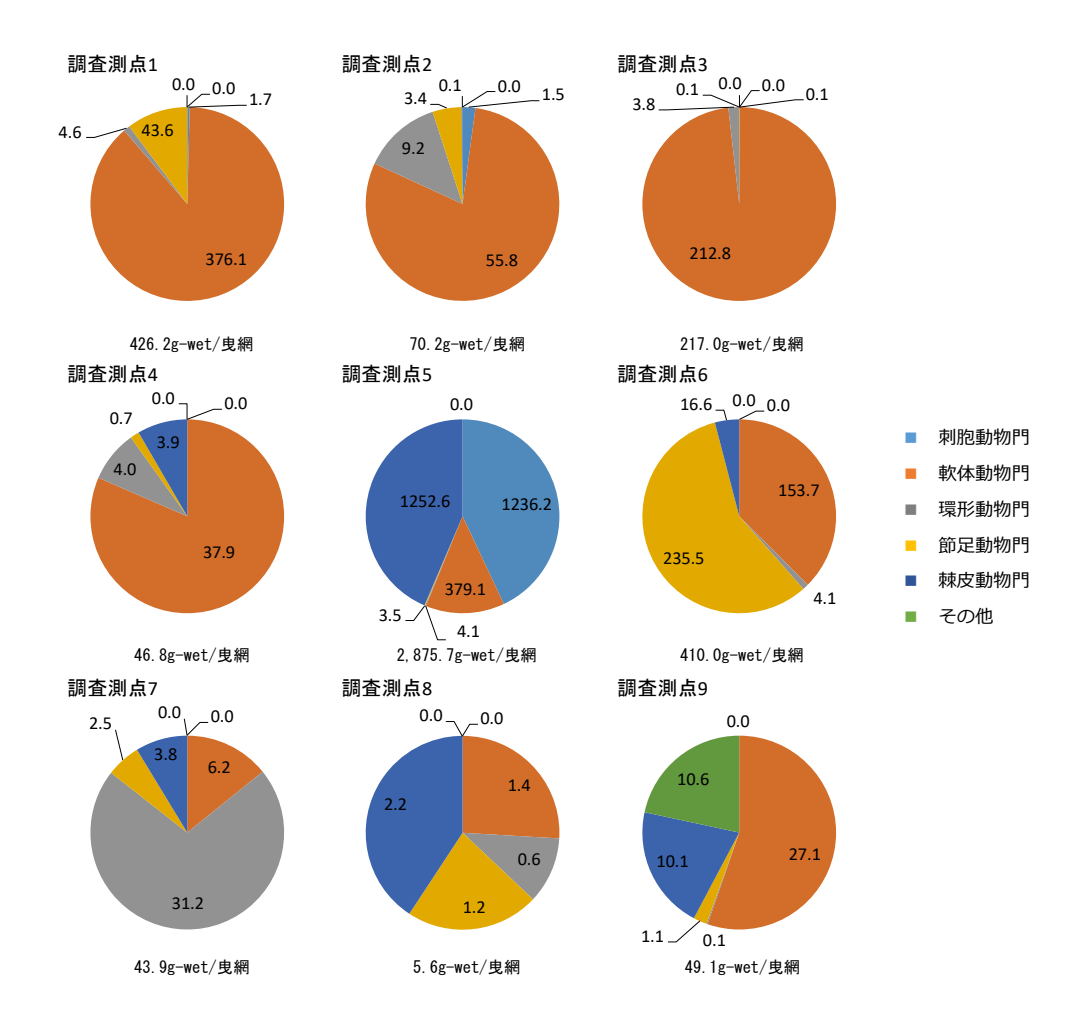


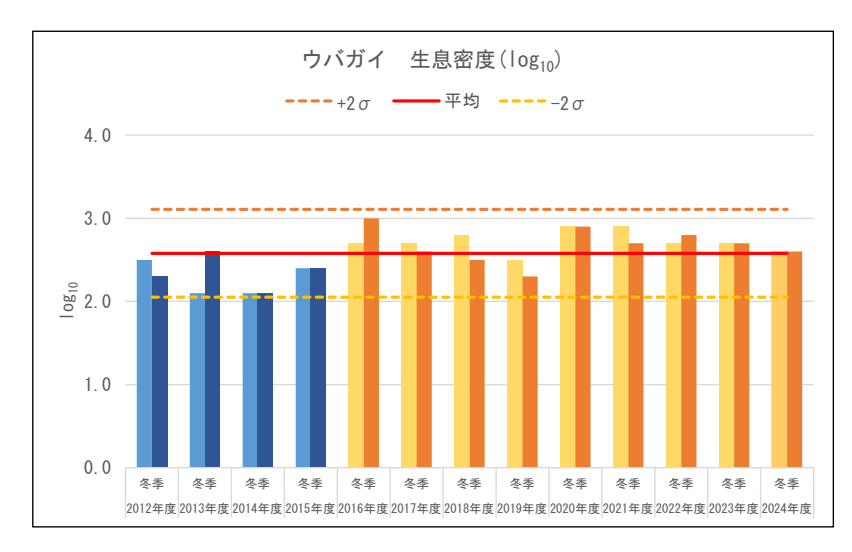
図-21 2024 年度冬季 メガベントスの湿重量組成 (g-wet/曳網)

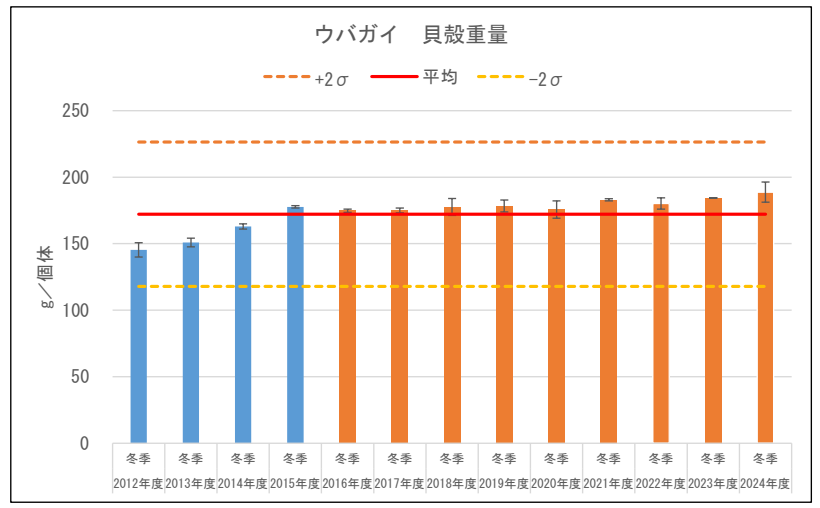
表-6(1) ウバガイ (ホッキ貝) の生息密度及び平均重量

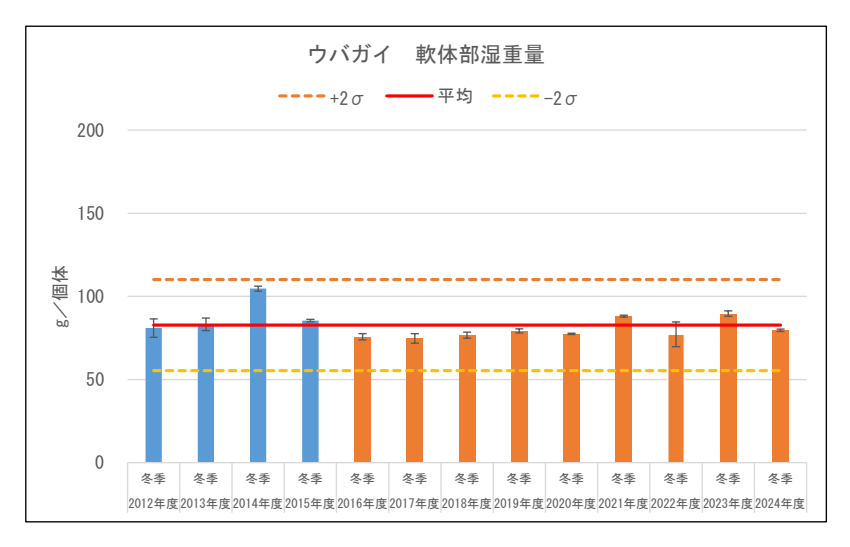
						平均湿重量	殻の重量/
年度	季節	曳網	個体数。	湿重量。	殻の平均重量	(軟体重量)	個体重量の比
17.00	7-14	(ラインNo)	(個体/100m²)	$(kg/100m^2)$	(g/個体)	(g/個体)	の平均
		108	253	75. 8	146.7 ±28.1	72. 1 ±11. 6	0. 67 ±0.03
	秋	2回目	541	151. 4	141.5 ±36.1	62. 8 ±14. 7	0.69 ±0.03
2011		108	174	47. 9	137. 7 ±24. 7	78. 3 ±12. 0	0. 64 ±0. 03
	冬	2回目	169	49. 3	143. 6 ±25. 5	81. 8 ±13. 5	0.64 ±0.03
		108	446	116. 7	125. 2 ±19. 4	68. 9 ±10. 4	0.64 ±0.03
	春	2回目	506	134. 2	132. 6 ±25. 3	65. 0 ±12. 0	0.66 ±0.03
		108	475	142. 2	140.6 ±33.1	77. 9 ±14. 3	0.64 ±0.03
	夏	2回目	367	106. 9	142.8 ±25.5	73.9 ±9.9	0.65 ±0.02
2012		1回目	136	40. 8	139.9 ±23.9	75. 2 ±10. 5	0.64 ±0.03
	秋	2回目	203	63. 4	143.7 ±25.5	74.9 ±13.8	0.65 ±0.03
	_	1回目	389	111. 2	141.6 ±22.2	77.0 ±12.9	0.64 ±0.03
	冬	2回目	238	73. 4	149.2 ±26.6	84.8 ±13.1	0.63 ±0.03
	Am Til.	1回目	149	49. 5	153.8 ±29.0	82. 4 ±15. 8	0.64 ±0.04
	初秋	2回目	127	42. 7	152.8 ±29.3	96.1 ±16.4	0.61 ±0.03
0010	no til.	1回目	147	43. 9	152.3 ±30.7	71.8 ±12.0	0.67 ±0.03
2013	晩秋	2回目	432	140. 8	169.5 ±26.4	80.0 ±13.9	0.67 ±0.03
	Æ	1回目	140	41. 5	148.5 ±27.7	80.5 ±11.4	0.64 ±0.03
	冬	2回目	399	123. 4	153.1 ±29.6	85.8 ±13.4	0.63 ±0.03
	春	1回目	97	29. 3	150.4 ±27.6	83.8 ±12.4	0.64 ±0.03
	Ť	2回目	95	32. 2	163.9 ±26.1	95.9 ±15.8	0.63 ±0.03
	夏	1回目	212	69. 9	151.5 ±24.8	92.0 ±14.0	0.62 ±0.03
2014	友	2回目	96	31. 3	160.1 ±28.9	86.9 ±12.8	0.64 ±0.02
2014	秋	1回目	201	63. 1	154.4 ±27.9	82.0 ±13.5	0.65 ±0.03
	1/	2回目	147	46. 9	$157.4 \pm 26.7$	84.5 ±13.8	0.64 ±0.03
	冬	1回目	135	47. 4	161.5 ±26.1	103.6 ±14.9	0.60 ±0.03
		2回目	132	46. 6	164. 2 ±23. 1	105.8 ±14.9	0.60 ±0.03
	春	1回目	170	54. 4	160.1 ±24.3	88.0 ±11.4	0.64 ±0.03
		2回目	139	44. 9	158.5 ±23.8	85. 5 ±12. 3	0.64 ±0.03
	夏	1回目	129	39. 8	158. 3 ±28. 3	77.9 ±16.8	0.67 ±0.03
2015		2回目	130	44. 0	166.7 ±20.6	89.3 ±12.3	0.65 ±0.02
	秋	1回目	142	48. 0	166.1 ±24.7	101.9 ±15.7	0.61 ±0.03
		2回目	227	77. 5	167. 7 ±22. 3	99.7 ±13.9	0.62 ±0.03
	冬	1回目 2回目	290 310	98. 8	178.3 ±22.8 177.0 ±20.9	84. 9 ±8. 7	0.67 ±0.02
			541	106. 0 176. 7	171. 6 ±23. 4	85. 9 ±9. 7	0.67 ±0.02 0.66 ±0.03
	春	1回目 2回目	584	189. 5	166. 3 ±23. 4	85.0 ±13.2 83.6 ±11.3	0.66 ±0.02
		1回目	315	109. 3	177. 3 ±27. 4	77.9 ±9.8	0.69 ±0.03
	夏	2回目	321	108. 1	169. 0 ±25. 8	75. 1 ±10. 3	0.69 ±0.03
2016		1回目	534	183. 8	178. 7 ±25. 4	76. 5 ±9. 5	0.69 ±0.03
	秋	2回目	1, 034	367. 5	183. 5 ±24. 9	78. 3 ±9. 9	0. 69 ±0. 02
		108	563	190. 0	175. 6 ±24. 0	77. 0 ±9. 3	0.69 ±0.02
	冬	2回目	1, 020	343. 3	173.9 ±24.7	74. 4 ±10. 2	0.69 ±0.03
	-	1回目	375	118. 7	163.5 ±21.9	89. 2 ±12. 5	0.64 ±0.03
	春	2回目	613	194. 5	163.1 ±24.2	92.4 ±12.5	0.63 ±0.03
	声	1回目	269	92. 7	171.8 ±27.5	84.2 ±11.0	0.66 ±0.03
2017	夏	2回目	431	159. 0	177.9 ±24.0	87.9 ±11.2	0.66 ±0.02
2017	秋	1回目	387	128. 0	170.4 ±21.5	75.4 ±10.3	0.69 ±0.02
	TA	2回目	427	142. 5	173.2 ±24.6	75.3 ±7.9	0.69 ±0.02
	冬	1回目	578	189. 4	173.8 ±23.2	72.7 ±8.4	0.70 ±0.02
		2回目	437	147. 0	176.3 ±22.7	76.7 ±11.4	0.69 ±0.02
	春	1回目	709	238. 0	173.6 ±22.6	85.7 ±10.9	0.66 ±0.03
		2回目	356	119. 1	171.2 ±21.7	86.1 ±10.6	0.66 ±0.03
	夏	1回目	353	119. 2	176.9 ±21.5	69.7 ±9.3	0.71 ±0.02
2018	^	2回目	420	135. 2	169.0 ±19.3	66.8 ±8.8	0.71 ±0.02
	秋	1回目	262	86. 5	172.9 ±23.7	66.4 ±8.0	0.72 ±0.02
		2回目	270	87. 6	173.0 ±22.2	64. 2 ±7. 0	0. 72 ±0. 02
	冬	1回目	648	226. 3	182.1 ±26.7	77.9 ±9.4	0.69 ±0.02
<u> </u>		2回目	329	106. 4	173.0 ±22.6	75.3 ±9.1	0.69 ±0.02

表-6(2) ウバガイ (ホッキ貝) の生息密度及び平均重量

						平均湿重量	殻の重量/
年度	季節	曳網	個体数	湿重量	設の平均重量	(軟体重量)	個体重量の比
		(ラインNo)	(個体/100m²)	$(kg/100m^2)$	(g/個体)	(g/個体)	の平均
		1回目	266	85. 6	166.8 ±19.4	85. 2 ±9. 8	0.66 ±0.02
	春	2回目	320	102. 5	168.7 ±24.0	85.4 ±11.3	0.66 ±0.03
		1回目	266	86. 1	169.5 ±21.5	79.4 ±9.4	0.68 ±0.02
	夏	2回目	247	80. 9	168.0 ±23.3	72.6 ±9.5	0.69 ±0.02
2019		108	325	105. 2	171.6 ±24.1	75.9 ±9.3	0.69 ±0.02
	秋	2回目	471	154. 1	174.9 ±27.3	76.0 ±10.2	0.69 ±0.02
		1回目	344	122. 9	181.5 ±21.5	78.3 ±9.7	0.69 ±0.02
	冬	2回目	232	78. 6	175. 2 ±25. 9	80. 1 ±10. 1	0. 68 ±0. 02
		1回目	374	122. 1	169. 0 ±23. 1	75.9 ±8.0	0.68 ±0.03
	夏	2回目	328	108. 9	174. 5 ±25. 6	73.6 ±10.7	0.70 ±0.02
		1回目	350	117. 6	168. 6 ±28. 9	68.8 ±10.2	0.70 ±0.03
	初秋	2回目	287	98. 8	173. 3 ±29. 4	77. 4 ±11. 3	0. 68 ±0. 02
2020		1回目	687	226. 6	172. 8 ±24. 1	78. 5 ±9. 3	0. 68 ±0. 02
	晩秋	2回目	500	161. 8	169. 6 ±22. 0	77. 6 ±10. 2	0. 68 ±0. 02
		1回目	987	340. 0	180. 3 ±20. 5	77. 2 ±8. 5	0. 69 ±0. 02
	冬	2回目	913	308. 1	171. 0 ±25. 5	77. 8 ±8. 6	0.68 ±0.03
		108	818	282. 2	179. 0 ±22. 7	94. 3 ±9. 1	0. 65 ±0. 02
	春	2回目	743	248. 6	171. 1 ±22. 9	95. 7 ±11. 7	0. 64 ±0. 02
		1回目	679	191. 4	144. 6 ±32. 4	61. 0 ±9. 4	0.69 ±0.03
	夏	2回目	448	125. 8	143. 5 ±25. 0	59. 2 ±8. 8	0. 70 ±0. 02
2021		1回目	450	141. 0	166. 0 ±26. 5	70. 7 ±8. 6	0. 69 ±0. 03
	秋	2回目	525	172. 5	173. 7 ±24. 9	74. 4 ±9. 3	0. 69 ±0. 02
		108	818	284. 6	182. 4 ±19. 3	87. 6 ±10. 3	0. 67 ±0. 02
	冬	2回目	579	204. 3	183. 5 ±27. 1	88. 5 ±9. 9	0. 67 ±0. 02
	春	108	1, 141	384. 9	178. 0 ±23. 3	92. 1 ±9. 8	0. 65 ±0. 02
		2回目	991	339. 8	178. 8 ±21. 5	93. 6 ±11. 0	0. 65 ±0. 02
		108	367	118. 0	170. 7 ±25. 0	75. 6 ±8. 4	0.69 ±0.02
	夏	2回目	478	162. 2	182. 2 ±23. 3	79. 2 ±8. 0	0.69 ±0.02
2022		108	567	199. 0	182. 2 ±23. 8	77. 6 ±8. 5	0. 70 ±0. 02
	秋	2回目	613	208. 2	180. 0 ±22. 5	76.0 ±8.9	0.70 ±0.02
		1回目	624	216. 4	183. 2 ±25. 2	82.5 ±11.3	0. 68 ±0. 02
	冬	2回目	790	275. 7	177. 2 ±21. 7	72. 0 ±8. 0	0. 71 ±0. 02
		1回目	597	185. 8	163. 4 ±27. 5	106. 8 ±15. 5	0. 60 ±0. 04
	春	2回目	702	207. 0	152. 3 ±26. 9	91. 8 ±10. 3	0. 62 ±0. 03
		108	655	225. 2	178. 9 ±26. 4	78. 2 ±9. 1	0. 69 ±0. 02
	夏	2回目	469	158. 7	176. 8 ±21. 3	74. 8 ±8. 1	0. 70 ±0. 02
2023		1回目	342	110. 3	166. 3 ±24. 3	71. 2 ±8. 9	0. 69 ±0. 02
	秋	2回目	484	167. 5	183. 3 ±25. 0	75. 1 ±9. 0	0. 70 ±0. 02
		1回目	543	189. 2	184. 4 ±24. 0	90. 8 ±11. 2	0.66 ±0.02
	冬	2回目	578	200. 0	184. 5 ±26. 6	88. 5 ±10. 5	0. 67 ±0. 02
		1回目	499	178. 2	188. 5 ±28. 9	93. 7 ±13. 8	0.66 ±0.03
	春	2回目	581	201. 5	181. 2 ±25. 0	90. 4 ±9. 6	0.66 ±0.02
		1回目	371	121. 2	166. 3 ±27. 0	73. 4 ±9. 9	0.69 ±0.02
	夏	2回目	563	198. 0	183. 6 ±26. 4	78. 2 ±10. 4	0.69 ±0.02
2024	٠.	1回目	562	200. 6	184. 9 ±28. 5	78. 5 ±9. 8	0. 70 ±0. 03
	秋	2回目	754	276. 2	189. 8 ±25. 6	80.3 ±9.0	0.70 ±0.02
		1回目	451	166. 6	194. 1 ±27. 3	80. 2 ±8. 7	0.70 ±0.02
	冬	2回目	427	150. 8	183. 4 ±26. 9	79. 2 ±10. 7	0.69 ±0.03
L		스티디	441	100.0	100.7 420.3	10. 4 10. 1	0.00 ±0.00







%各グラフの青色は  $CO_2$  圧入前のデータを、橙色は  $CO_2$  圧入開始以降のデータを示す。

※上記の各グラフについては、過年度の変動範囲を 95%信頼区間(平均値 $\pm 2\sigma$ ( $\sigma$ :標準偏差))として整理した。また、生息密度(個体数 $/100m^2$ )については個体数の変動範囲が大きいことから、常用対数に変換した。 ※生息密度において、同時期の 2 本の棒グラフは、1 回目、2 回目の順で曳網のデータを示す。

図-22 ウバガイ生息密度、貝殻重量の経年変化

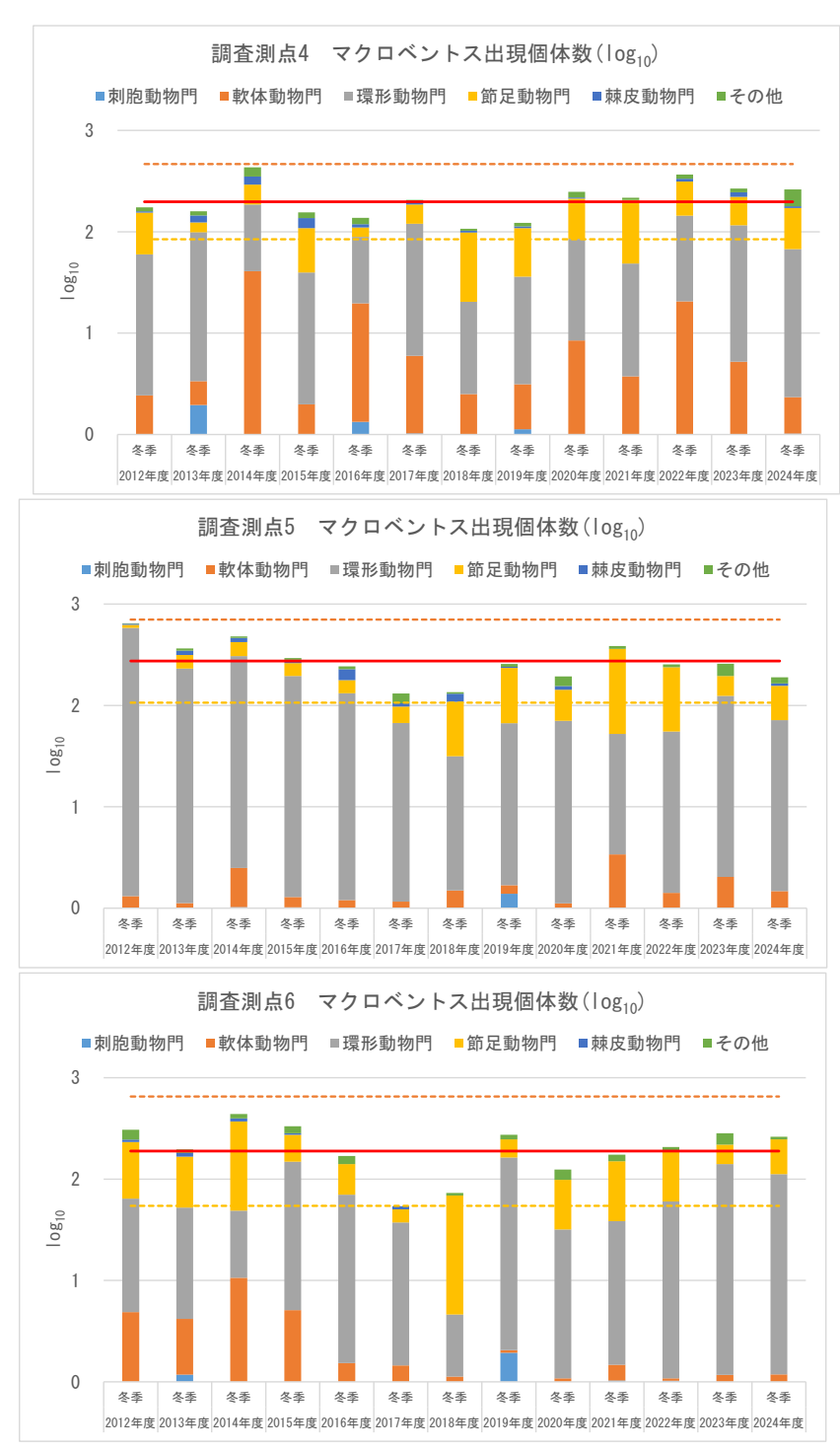


※出現個体数(個体数/1,000cm²)については、過年度の変動範囲を各調査測点の 95%信頼区間(平均値 $\pm 2\sigma$ ( $\sigma$ : 標準偏差))として整理した。また、出現個体数の変動範囲が大きいことから、常用対数に変換した。各分類群の組成については、出現個体数に対する各分類群の占める割合を示す。

※ ---: : +2σ、---: : -2σ を表す。

※St. 1 は採泥を 4 回行っていることから、4 回分の試料の平均値を用いた。

図-23(1) マクロベントスの出現個体数の経年変化



※出現個体数 (個体数/1,000cm²) については、過年度の変動範囲を各調査測点の 95%信頼区間 (平均値 $\pm 2\sigma$ ( $\sigma$ :標準偏差)) として整理した。また、出現個体数の変動範囲が大きいことから、常用対数に変換した。各分類群の組成については、出現個体数に対する各分類群の占める割合を示す。

※ ---: : -2σ を表す。

図-23(2) マクロベントスの出現個体数の経年変化



※出現個体数(個体数/1,000cm²)については、過年度の変動範囲を各調査測点の95%信頼区間(平均値±2 $\sigma$ ( $\sigma$ :標準偏差))として整理した。また、出現個体数の変動範囲が大きいことから、常用対数に変換した。各分類群の組成については、出現個体数に対する各分類群の占める割合を示す。

※ ---: : -2σ を表す。

図-23 (3) マクロベントスの出現個体数の経年変化



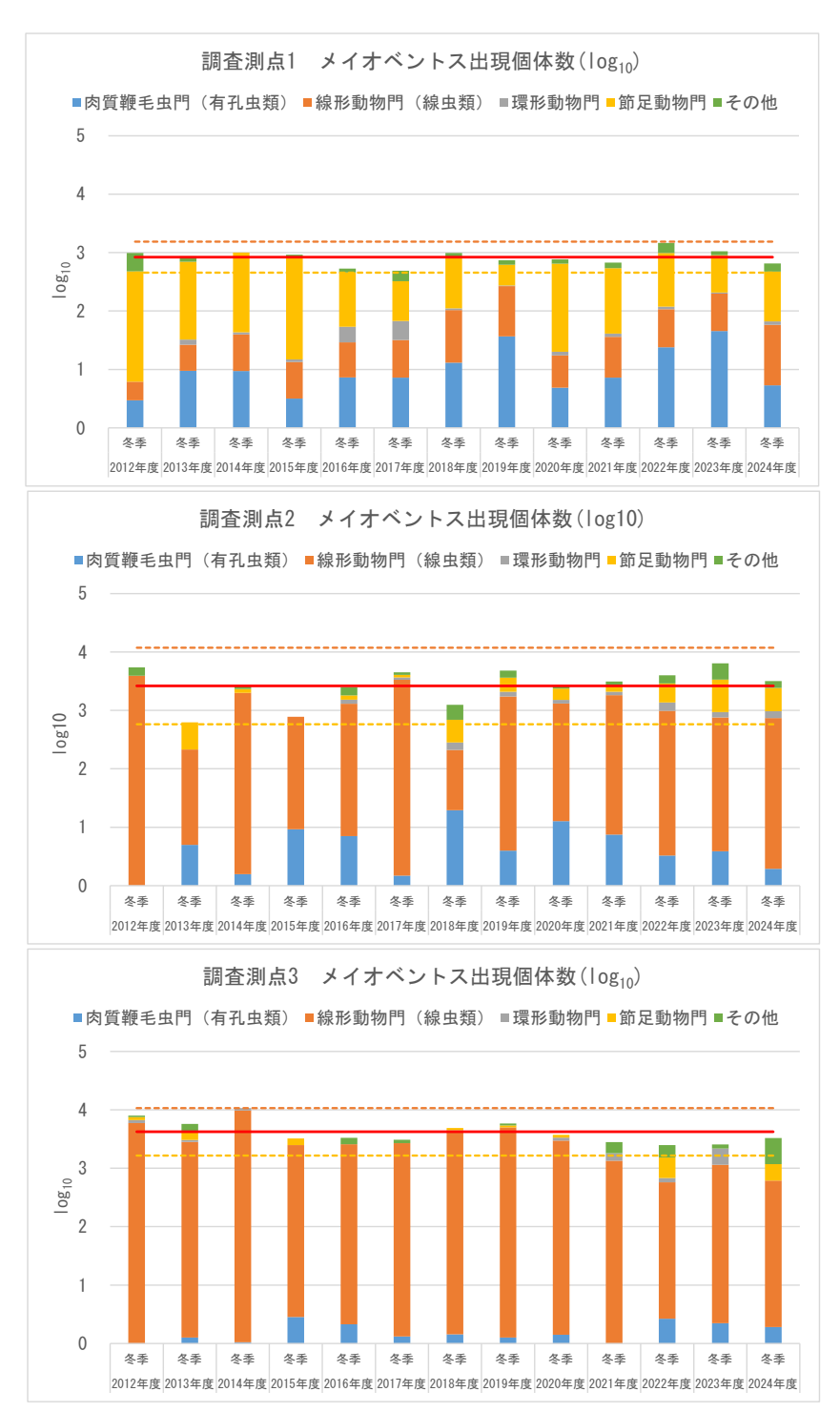
※出現個体数 (個体数/1,000cm²) については、過年度の変動範囲を各調査測点の 95%信頼区間 (平均値±2σ(σ:標準偏差)) として整理した。また、出現個体数の変動範囲が大きいことから、常用対数に変換した。各分類群の組成については、出現個体数に対する各分類群の占める割合を示す。

※ ---: : +2σ、----: : -2σ を表す。

※St. A、B、Cは2013年度晩秋調査から調査開始。

※St. A、B、C は採泥を 4 回行っていることから、4 回分の試料の平均値を用いた。

図-23(4) マクロベントスの出現個体数の経年変化



※出現個体数 (個体数/10cm²) については、過年度の変動範囲を各調査測点の 95%信頼区間 (平均値±2σ(σ:標準偏差)) として整理した。また、出現個体数の変動範囲が大きいことから、常用対数に変換した。各分類群の組成については、出現個体数に対する各分類群の占める割合を示す。

※ ---: : +2σ、----: : -2σ を表す。

※St. 1 は採泥を 4 回行っていることから、4 回分の試料の平均値を用いた。

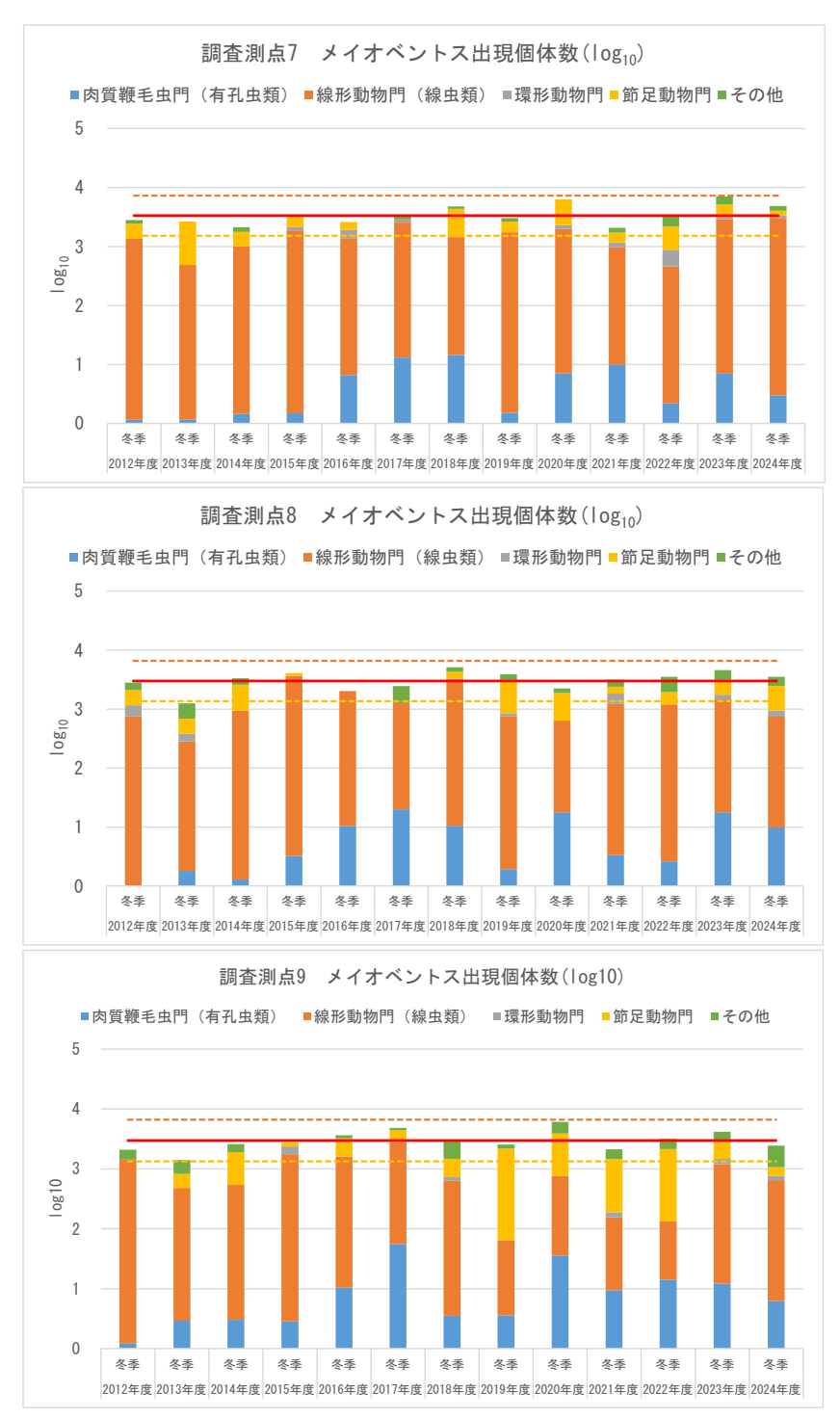
図-24(1) メイオベントスの出現個体数の経年変化



※出現個体数 (個体数/10cm²) については、過年度の変動範囲を各調査測点の 95%信頼区間 (平均値±2σ(σ:標準偏差)) として整理した。また、出現個体数の変動範囲が大きいことから、常用対数に変換した。各分類群の組成については、出現個体数に対する各分類群の占める割合を示す。

※ ---: : -2σ、----: -2σ を表す。

図-24(2) メイオベントスの出現個体数の経年変化



※出現個体数 (個体数/10cm²) については、過年度の変動範囲を各調査測点の 95%信頼区間 (平均値±2σ(σ:標準偏差)) として整理した。また、出現個体数の変動範囲が大きいことから、常用対数に変換した。各分類群の組成については、出現個体数に対する各分類群の占める割合を示す。

※ ---: : 平均個体数、----: : +2σ、----: : -2σ を表す。

図-24(3) メイオベントスの出現個体数の経年変化



※出現個体数 (個体数/10cm²) については、過年度の変動範囲を各調査測点の 95%信頼区間 (平均値±2σ(σ:標準偏差)) として整理した。また、出現個体数の変動範囲が大きいことから、常用対数に変換した。各分類群の組成については、出現個体数に対する各分類群の占める割合を示す。

※ ---: : 平均個体数、----: : +2σ、----: : -2σ を表す。

※St. A、B、Cは2013年度晩秋調査から調査開始。

※St. A、B、C は採泥を 4 回行っていることから、4 回分の試料の平均値を用いた。

図-24(4) メイオベントスの出現個体数の経年変化

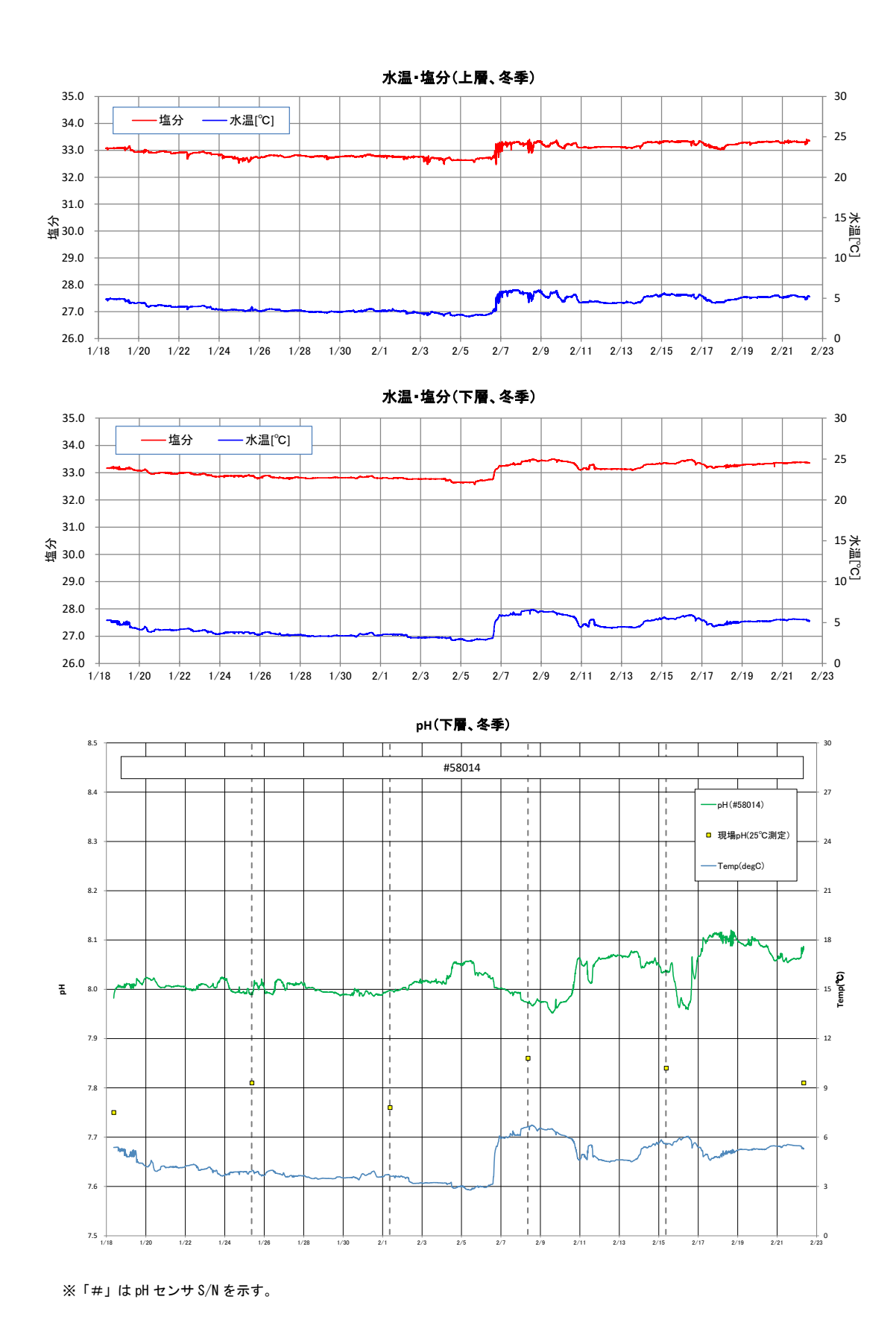


図-25 2024 年度冬季 水温・塩分及び pH の連続観測結果

## 担当者等連絡先

部 署 名:環境省 水・大気環境局海洋環境課

T E L: 03-5521-9023 (直 通)

:課長 水 谷 好 洋

担当者名:課長補佐 武 井 宏 樹 (内線: 23040)